

# PRZEGLĄD TECHNICZNY

TYGODNIK POŚWIĘCONY SPRAWOM TECHNIKI I PRZEMYSŁU.

TREŚĆ:

- Zmiana kierunku prądu jednostajnego o 180° (Prace Lab. Aerodyn. Polit. Warsz.) (dok.), przygot. do druku J. Bonder
- Zagadnienia techniczne rozwiązywane za pomocą metody fotoelastyczności (c. d.), napisał Prof. Dr. E. G. Coker, Dziekan Wydz. Inżyn. Uniw. Londyńskiego.
- Zmiana sposobu obliczania blach kotłowych, nap. Prof. E. Hauswald.
- O budowie ulic i chodników w St. Zjedn. Am. Półn. (c. d.), nap. inż. St. Manduk, Buffalo.
- Przeegląd pism technicznych.

SOMMAIRE:

- Déviation d'un courant uniforme de l'angle de 180° (suite et fin), Travaux du Laboratoire Aérodynamique de l'Ecole Polytechnique de Varsovie, présenté par J. Bonder.
- Solution des problèmes techniques au moyen de la méthode de photo-élasticité (à suivre), par Prof. Dr. E. G. Coker, Doyen de l'Ecole Polytechnique de l'Université de Londres.
- Sur la modification du calcul de l'épaisseur des tôles de chaudières, par E. Hauswald, Prof.
- Construction des rues de villes et des trottoirs aux Etats-Unis, par St. Manduk, Ing.
- Revue documentaire.

## Prace Laboratorium Aerodynamicznego Polit. Warsz., prowadzone pod kierunkiem prof. C. Witoszyńskiego.

### Zmiana kierunku prądu jednostajnego o 180°.<sup>1)</sup>

Przygotował do druku J. Bonder.

Wypadek ogólniejszy kanału o ściankach krzywych.

Obecnie rozpatrzmy proste uogólnienie omawianego potencjału zespolonego (14); mianowicie, zachowując oznaczenia poprzednio przyjęte, potencjał zespolony określimy równaniem:

$$\cosh \frac{\Phi + i\Psi}{au} = \frac{2e^{\frac{x}{a}} - m - 1}{1 - m} \quad (21)$$

Przy  $m = -1$  otrzymujemy zbadany już potencjał (14). Jak przekonamy się, z potencjału tego (21) wynika układ linii prądu, posiadający cały szereg ciekawych własności.

Ograniczymy się do zbadania przepływu dla  $|m| < 1$ , gdyż, jeśli  $|m| > 1$ , to wystarczy wziąć we wzorze (21) zamiast parametru  $m$  parametr  $m_1 = \frac{1}{m}$ , a otrzymamy:

$$\cosh \frac{\Phi + i\Psi}{au} = \frac{2e^{\frac{x}{a}} - \frac{1}{m} - 1}{1 - \frac{1}{m}},$$

czyli:

$$\cosh \frac{\Phi + i(\Psi + \pi)}{au} = \frac{2e^{\frac{x}{a} + \ln m} - 1 - m}{1 - m},$$

t. j. przepływ, różniący się od poprzedniego przepływu z parametrem  $m$  tylko tem, że układ spólrzędnych jest przesunięty o  $z_0 = a \ln m$ , a wartości  $\Psi$  są na odpowiednich liniach prądu mniejsze o  $\pi$ .

Pamiętając więc, że  $|m| < 1$ , określamy ze wzoru (21) układ prędkości:

$$v_x - i v_y = u \frac{e^{\frac{x}{a}}}{\sqrt{(e^{\frac{x}{a}} - m)(e^{\frac{x}{a}} - 1)}}, \quad (22)$$

z którego wynika, że prędkość staje się nieskończenie wielką w punktach:

$$\frac{z}{a} = 2k\pi i, \quad \text{bądź} \quad \frac{z}{a} = \ln m + 2k\pi i,$$

gdzie  $k$  — dowolna liczba całkowita. Należy tu rozróżnić dwa wypadki:  $0 < m < 1$  oraz  $-1 < m < 0$ . W pierwszym wypadku bieguny (t. j. punkty, w których prędkość jest nieskończenie wielka) leżą parami na prostych, równoległych do osi  $x$  i odległych od siebie o  $2\pi a$ ; w drugim — bieguny ułożone są w szachownicę — szereg biegunów:  $\frac{z}{a} = 2k\pi i$  zostaje na swo-

jem miejscu, podczas gdy drugi szereg:  $\frac{z}{a} = \ln m + 2k\pi i = \ln(-m) + \pi i + 2k\pi i$  ulega przesunięciu o  $\pi a$  do góry lub na dół.

Najpierw zajmiemy się wypadkiem:

$$0 < m < 1.$$

Ponieważ układ linii prądu powtarza się przy przesunięciu w kierunku osi  $y$  o  $2\pi a$ , wystarczy uwzględnić  $y$  tylko w granicach:  $-\pi a < y < \pi a$ .

Z równania (21), przyrównywując do siebie oddzielnie części rzeczywiste i urojone, otrzymamy:

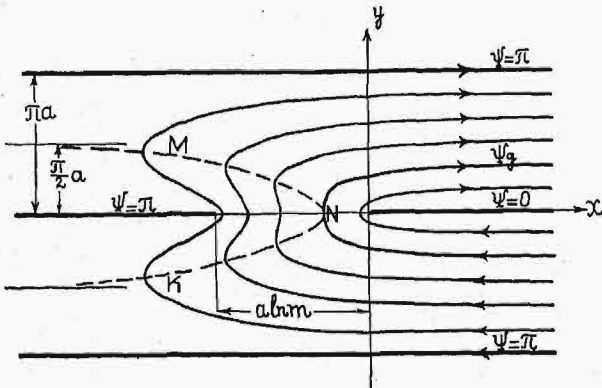
$$\left. \begin{aligned} \cosh \frac{\Phi}{au} \cos \frac{\Psi}{au} &= \frac{2e^{\frac{x}{a}} \cos \frac{y}{a} - m - 1}{1 - m}, \\ \sinh \frac{\Phi}{au} \sin \frac{\Psi}{au} &= \frac{2e^{\frac{x}{a}} \sin \frac{y}{a}}{1 - m}, \end{aligned} \right\} (23)$$

<sup>1)</sup> Dokończenie do str. 588 w № 39 r. b.

a rugując stąd  $\Phi$ , dochodzimy do następującego równania linii prądu  $\Psi = \text{const}$ :

$$4 \left( \cos^2 \frac{y}{a} - \cos^2 \frac{\Psi}{au} \right) e^{\frac{2x}{a}} + \\ - 4(m+1) \cos \frac{y}{a} \left( 1 - \cos^2 \frac{\Psi}{au} \right) e^{\frac{x}{a}} + \\ + \left[ (1+m)^2 - (1-m)^2 \cos^2 \frac{\Psi}{au} \right] \left( 1 - \cos^2 \frac{\Psi}{au} \right) = 0. \quad (24)$$

Z równań (23) widać, że linję prądu  $\Psi = 0$  tworzy dodatnia strona osi  $x$  ( $y = 0$ ;  $x > 0$ ). Linja prądu  $\Psi = \pi$  składa się z części osi  $x$ , mianowicie  $y = 0$ ,  $x < a \ln m$  oraz z dwóch prostych równoległych do tejże osi:  $y = \pm \pi a$  (rys 6). Na odcinku osi  $x$ , dla  $a \ln m <$



Rys. 6.

$x < 0$  mamy  $\Phi = 0$ ; w pozostałych zaś punktach potencjał  $\Phi$  określony jest równaniem:

$$\sinh \frac{\Phi}{au} = \frac{2e^{\frac{x}{a}} \sin \frac{y}{a}}{(1-m) \sin \frac{\Psi}{au}}. \quad (25)$$

Z równania (22) odczytujemy odrazu, że:

$$\left. \begin{array}{l} \text{gdy } x = +\infty \text{ mamy } v_x - iv_y = \pm u, \\ \text{a gdy } x = -\infty \text{ mamy } v_x - iv_y = 0, \end{array} \right\} \quad (26)$$

czyli w  $+\infty$  mamy jednostajny prąd powietrza, a w  $-\infty$  prąd ten zawraca. Chcąc bliżej określić charakter linii prądu, podnieśmy obie strony równania (22) do kwadratu:

$$v_x^2 - v_y^2 - 2iv_x v_y = u^2 \frac{e^{\frac{2x}{a}}}{(e^{\frac{x}{a}} - m)(e^{\frac{x}{a}} - 1)},$$

skąd otrzymamy:

$$v_x v_y = \frac{u^2 e^{\frac{2x}{a}} \left[ (1+m) e^{\frac{x}{a}} - 2m \cos \frac{y}{a} \right] \sin \frac{y}{a}}{2 \left[ \left( e^{\frac{x}{a}} - m \cos \frac{y}{a} \right)^2 + m^2 \sin^2 \frac{y}{a} \right] \left[ \left( e^{\frac{x}{a}} - \cos \frac{y}{a} \right)^2 + \sin^2 \frac{y}{a} \right]}. \quad (27)$$

Jak widać z tego wzoru, mianownik jest zawsze dodatni, naskutek czego znak iloczynu prędkości  $v_x v_y$  zależy jedynie od znaku wyrażenia:

$$L = \left[ (1+m) e^{\frac{x}{a}} - 2m \cos \frac{y}{a} \right] \sin \frac{y}{a}. \quad (28)$$

Jest rzeczą oczywistą, że strona, w którą pochyłone są styczne do linii prądu, jest w zupełności określona znakiem iloczynu  $v_x v_y$ , niezależnie od znaków poszczególnych czynników, których znajomość jest potrzebna dopiero wtedy, gdy chodzi o wyznaczenie zwrotu przepływu, t. j. o określenie, czy przepływ odbywa się od  $A$  do  $B$ , czy też od  $B$  do  $A$ . To jednakże pozostaje dowolne, a właściwie zależy od tego, jaki znak postawimy przed pierwiastkiem we wzorze (22). Wystarczy więc dla określenia charakteru układu linii prądu zbadać znak iloczynu  $v_x v_y$  i to jedynie dla  $y > 0$ , gdyż układ ten jest symetryczny względem osi  $x$ . Przy tym założeniu wynika ze wzoru (27), że dla  $x > 0$  mamy bez wyjątku  $v_x v_y > 0$ ; natomiast przy  $x < 0$ , t. j.  $e^{\frac{x}{a}} < 1$  należy rozróżnić dwa wypadki (rys. 6):

$$1) \cos \frac{y}{a} < \frac{(1+m) e^{\frac{x}{a}}}{2m}, \text{ wówczas: } v_x v_y > 0;$$

$$2) \cos \frac{y}{a} > \frac{(1+m) e^{\frac{x}{a}}}{2m}, \text{ wówczas } v_x v_y < 0.$$

A zatem, gdy  $\cos \frac{y}{a} = \frac{(1+m) e^{\frac{x}{a}}}{2m}$ , mamy wtedy  $v_x v_y = 0$ , a właściwie, jak przekonywa rzut oka na rys. 6,  $v_x = 0$ . Powiemy więc, że równanie:

$$\cos \frac{y}{a} = \frac{1+m}{2m} e^{\frac{x}{a}} \quad (29)$$

wyraża miejsce geometryczne punktów, dla których  $v_x = 0$  (na rys. 6 krzywa  $MNK$ ).

Krzywa ta przecina oś  $x$  w punkcie  $N$  o odciętej

$$\frac{x}{a} = \ln \frac{2m}{1+m} \quad (30)$$

i posiada asymptoty:  $y = \pm \frac{\pi}{2} a$ .

Przyjrzyjmy się jeszcze układowi prędkości na osi  $x$  w przedziale:  $a \ln m < x < 0$ . Z równania (22) dla  $y = 0$  i  $x$  zawartego w powyższym przedziale otrzymujemy:

$$v_x = 0; v_y = V = \frac{u e^{\frac{x}{a}}}{\sqrt{(e^{\frac{x}{a}} - m)(1 - e^{\frac{x}{a}})}}. \quad (31)$$

Jak łatwo się przekonać przez proste różniczkowanie, prędkość ta przechodzi przez minimum, gdy:

$$e^{\frac{x}{a}} = \frac{2m}{1+m},$$

a więc minimum prędkości na osi  $x$  ma miejsce w punk-

cie  $N$ , w którym przecina ją linja  $MNK$  (rys. 6). Linję prądu  $\Psi_0$ , która przechodzi przez ten punkt, będziemy nazywali linją graniczną. Wartość jej parametru  $\Psi_0$  określamy z równania (23); po uskutecznieniu podstawień:

$$y = 0; \Phi = 0; e^{\frac{x}{a}} = \frac{2m}{1+m};$$

otrzymamy:

$$\cos \frac{\Psi_g}{au} = -\frac{1-m}{1+m}; \quad (32)$$

ponieważ:  $0 < m < 1$ , więc:  $\frac{\pi}{2} < \frac{\Psi_g}{au} < \pi$ .

Minimum prędkości na osi  $x$  posiada wartość [wzór (31)]:

$$V_{min} = \frac{2u}{1-m} \sqrt{m}. \quad (33)$$

Chcąc, by istniał przedział na osi  $x$ , w którym panowałaby prędkość mniejsza od prędkości  $u$  prądu jednostajnego, z jakim mamy do czynienia dla  $x = +\infty$ ,

należy uczynić  $V_{min} < u$  t. j.  $\frac{2\sqrt{m}}{1-m} < 1$ , skąd:

$$0 < m < 3 - 2\sqrt{2} \approx 0,1716. \quad (34)$$

Jeśli ten warunek jest spełniony, to wśród rozpatrywanego układu linii prądu są dwie o parametrach  $\Psi_1$  i  $\Psi_2$ , na których przecięciu z osią  $x$  prędkość  $V = u$ . W celu wyznaczenia wartości tych parametrów, rugujemy z wzorów (31) i (23) zmienną  $x$ , co przy założeniu  $y = 0$ ,  $\Phi = 0$  doprowadza do następującego wzoru na prędkość  $V$  na osi  $x$ :

$$V = u \frac{(1-m) \cos \frac{\Psi}{au} + 1 + m}{(1-m) \sin \frac{\Psi}{au}}. \quad (35)$$

Zakładając  $V = u$ , otrzymamy wzór do wyznaczenia parametrów  $\Psi_1$  i  $\Psi_2$ :

$$\sin \left( \frac{\Psi_{1,2}}{au} - \frac{\pi}{4} \right) = \frac{1+m}{1-m} \frac{\sqrt{2}}{2}. \quad (36)$$

Przy założeniu (34) mamy:

$$\frac{\sqrt{2}}{2} < \frac{1+m}{1-m} \frac{\sqrt{2}}{2} < 1, \\ \frac{\pi}{4} < \frac{\Psi_{1,2}}{au} - \frac{\pi}{4} < \frac{3}{4}\pi \text{ albo } \frac{\pi}{2} < \frac{\Psi_{1,2}}{au} < \pi.$$

Wartości parametrów, które czynią zadość równaniu (36), związane są zależnością:

$$\Psi_1 + \Psi_2 = \frac{3}{2}\pi. \quad (37)$$

Utwórzmy (rys. 7) z tych dwóch linii prądu kolano tunelu aerodynamicznego, przyczem tak dobierzemy parametry  $\Psi_1$  i  $\Psi_2$ , aby stosunek  $q$  odległości  $h$  zewnętrznej ścianki kanału od osi tunelu do światła kanału  $b$  był w celu łatwiejszego porównania taki sam, jak w przykładzie, którego szkic podaje rys. 4. A więc:

$$q = \frac{h}{b} = \frac{\Psi_2}{\Psi_2 - \Psi_1} = 3,43; \quad \text{skąd w połączeniu}$$

z równością (37) otrzymamy:

$$\Psi_1 = 0,622 \pi au, \quad \Psi_2 = 0,878 \pi au,$$

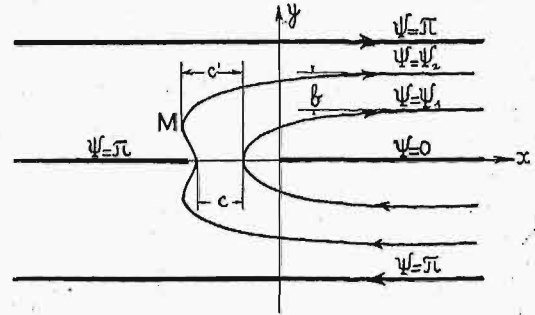
co pozwala już określić światło kanału:

$$b = \frac{\Psi_2 - \Psi_1}{u} = 0,804 a,$$

oraz wyznaczyć z równania (36) wartość parametru  $m = 0,131$ . Te dane określają już całkowicie układ linii prądu. Tak więc, posługując się równaniami (23), określmy światło kolana  $c$ :

$$c = -(x_2 - x_1) = 0,905 a.$$

Należy tu jednakże zauważyć, że ponieważ linia  $\Psi = \Psi_2$  posiada wypukłość w okolicy punktu  $M$  (rys.7), więc — jeśli chodzi o porównanie dwóch kolan ze względu na miejsce, jakie zajmują — miarodajnym jest nie wymiar  $c$ , lecz  $c'$ , który nazwiemy szerokością kolana:  $c' = -(x_M - x_1)$ . Tutaj  $x_M$  oznacza odcięta punktu  $M$ , którego współrzędne są pierwiastkami układu równań (24) i (29), przyczem  $\Psi = \Psi_2 = 0,878 \pi au$ . Po przeprowadze-



Rys. 7.

niu rachunków otrzymamy:  $c' = 1,086 a$ , skąd stosunek szerokości kolana do światła kanału  $p' = \frac{c'}{b} = 1,35$ , a więc nieco lepszy niż w przykładzie, z którym przeprowadzamy porównanie (tam otrzymaliśmy:  $p = 1,42$ ).

Przechodzimy teraz do przedyskutowania wypadku:  $-1 < m < 0$ .

Poprzednie wzory formalnie zostają w mocy; ze względu jednak na to, że  $m$  jest obecnie ujemne, otrzymamy z nich inne wyniki. A więc ze wzoru (22) odczytujemy, że jeden biegun jest, jak poprzednio, w punkcie  $z = 0$ ; natomiast drugi, określony równaniem:  $e^{\frac{z}{a}} = m$ , posiada współrzędne:  $x = a \ln(-m)$ ;  $y = \pi a$ . Równanie (23) daje położenie głównych linii prądu  $\Psi$  i jednakowego potencjału prędkości  $\Phi$ :

$\Psi = 0$  — dodatnia strona osi  $x$ , czyli  $y = 0$ ;  $x > 0$ ;

$\Psi = \pi$  — część prostej równoległej do osi  $x$ , t. j.  $y = \pi a$ ;  $x > a \ln(-m)$ ;

$\Phi = 0$  — pozostałe części tychże prostych t. j.  $y = 0$ ,  $x < 0$  albo  $y = \pi a$ ,  $x < a \ln(-m)$ .

Przechodząc do zbadania układu prędkości, mamy tak samo, jak i przy  $m$  dodatnim, że znak iloczynu składowych prędkości  $v_x v_y$ , określający w którą stronę pochylone są linie prądu, jest identyczny ze znakiem wyrażenia (28):

$$L = \left[ (1+m) e^{\frac{x}{a}} - 2m \cos \frac{y}{a} \right] \sin \frac{y}{a}.$$

Ze względu na to, że:  $-1 < m < 0$ , będzie:

$$v_x v_y > 0, \text{ o ile } \cos \frac{y}{a} > \frac{1+m}{2m} e^{\frac{x}{a}};$$

natomiast  $v_x v_y < 0$ , gdy  $\cos \frac{y}{a} < \frac{1+m}{2m} e^{\frac{x}{a}}$ .

Z tych zależności wynika schemat układu linii prądu podany na rys. 8. Krzywa  $MNK$  jest miejscem

geometrycznym punktów, w których  $v_y = 0$ . Jej równanie jest następujące:

$$\cos \frac{y}{a} = \frac{1+m}{2m} e^{\frac{x}{a}}. \quad (38)$$

Krzywa ta przecina prostą  $y = \pi a$  w punkcie  $N$ , określonym równością:

$$e^{\frac{x}{a}} = \frac{-2m}{1+m}; \quad \text{skąd: } x = a \ln(-m) + a \ln \frac{2}{1+m};$$

asymptotami jej są proste:  $y_a = \frac{\pi}{2} a$  oraz  $y_a = \frac{3\pi}{2} a$ .

Jak widać z rys. 8, linie prądu rozpadają się na dwie grupy, oddzielone od siebie linią graniczną  $\Psi_g$ , która biegnie od  $-\infty$  do  $+\infty$ . A więc, by otrzymać wzór na jej parametr  $\Psi_g$ , należy w równaniu (23):

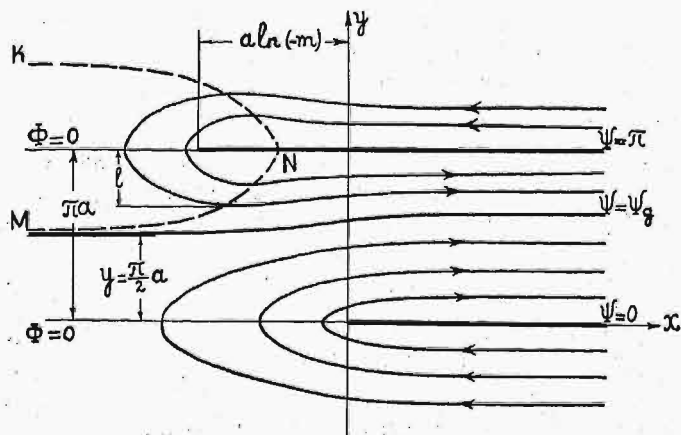
$$\cosh \frac{\Phi}{au} \cos \frac{\Psi}{au} = \frac{2e^{\frac{x}{a}} \cos \frac{y}{a} - m - 1}{1 - m}.$$

założyć:  $\Phi = 0$ ,  $\frac{x}{a} = -\infty$ ,  $y = 0$ ; od razu wypadnie:

$$\cos \frac{\Psi_g}{au} = -\frac{1+m}{1-m} < 0. \quad (39)$$

Mamy więc:  $\frac{\pi}{2} < \frac{\Psi_g}{au} < \pi$ . Gdy weźmiemy  $m = -1$ ,

otrzymamy  $\Psi_g = \frac{\pi}{2} au$  i dojdziemy do przepływu poprzednio rozpatrywanego; gdy zaś  $m = 0$ , będzie  $\Psi_g = \pi au$  i mamy do czynienia, jak widać ze wzoru (21), z tym samym przepływem — tylko w innej skali.



Rys. 8.

Podstawiając wzór (39) do równania (24), otrzymamy równanie linii granicznej  $\Psi = \Psi_g$ :

$$e^{\frac{x}{a}} = \frac{-4m(m+1) \cos \frac{y}{a}}{(m-1)^2 \cos^2 \frac{y}{a} - (m+1)^2}, \quad (40)$$

z którego widać, że linia graniczna posiada dwie asymptoty (rys. 8):

$$1) x = +\infty; \quad \cos \frac{y}{a} = -\frac{1+m}{1-m} = \cos \frac{\Psi_g}{au},$$

$$\text{skąd } y_a = \frac{\Psi_g}{u} > \frac{\pi}{2} a;$$

$$2) x = -\infty; \quad \cos \frac{y}{a} = 0, \text{ a więc } y_a = \frac{\pi}{2} a.$$

Zauważmy tu jeszcze, że linie prądu, położone powyżej linii granicznej, zajmują szerokość większą od tej, jaką obejmują ich asymptoty (rys. 8). Odległość najdalszego punktu linii prądu od prostej  $y = \pi a$  oznaczmy przez  $l$ ; odległość ta jest większa od odległości odpowiedniej asymptoty od prostej  $y = \pi a$ . Dla otrzymania spórzędnych punktu, o jakim mowa, a który leży na przecięciu rozpatrywanej linii prądu z krzywą  $MNK$ , należy rozwiązać układ równań (24) i (38).

Pozostaje jeszcze do przedyskutowania zmienność prędkości przepływu przez oś  $x$  i prostą  $y = \pi a$ . Ze wzoru (22) wynika, że na osi  $x$  dla  $y = 0$ ,  $x < 0$  będzie prędkość  $V$ :

$$V = v_y = \frac{u e^{\frac{x}{a}}}{\sqrt{(e^{\frac{x}{a}} - m)(1 - e^{\frac{x}{a}})}}.$$

Jak łatwo się przekonać, prędkość ta od wartości nieskończenie wielkiej w punkcie  $x = 0$ ,  $y = 0$  maleje do zera dla  $x = -\infty$ .

Analogicznie znajdziemy prędkość  $V$  na prostej  $y = \pi a$ , gdzie  $z = x + i\pi a$ , przyczem  $x < a \ln(-m)$ ; po wykonaniu prostych przekształceń dojdziemy do wzoru:

$$V = v_y = -\frac{u e^{\frac{x}{a}}}{\sqrt{(1 + e^{\frac{x}{a}})(-m - e^{\frac{x}{a}})}}.$$

I tu prędkość od wartości nieskończenie wielkiej w punkcie  $z = a \ln(-m) + i\pi a$  maleje do zera. Oba te wzory można połączyć w jeden, uwzględniając, że według wzoru (23) dla  $\Phi = 0$  i  $y = 0$  mamy:

$$e^{\frac{x}{a}} = \frac{(1-m) \cos \frac{\Psi}{au} + 1 + m}{2},$$

zaś dla  $\Phi = 0$ , lecz  $y = \pi a$  będzie:

$$e^{\frac{x}{a}} = -\frac{(1-m) \cos \frac{\Psi}{au} + 1 + m}{2}.$$

W obydwu więc wypadkach otrzymamy:

$$V = u \frac{(1-m) \cos \frac{\Psi}{au} + 1 + m}{(1-m) \sin \frac{\Psi}{au}}. \quad (41)$$

Z powyższego wzoru możemy wyznaczyć parametr  $\Psi_1$  względnie  $\Psi_2$  linii prądu, określonej warunkiem, że prędkość w jej punkcie przecięcia z osią  $x$  względnie prostą  $y = \pi a$  ma być równa prędkości  $u$ , jaka panuje w punktach o odciętej  $x = +\infty$ . Należy tylko, uwzględniając wskazany na rys. 8 kierunek przepływu, założyć w pierwszym wypadku  $V = u$ , a w drugim  $V = -u$ . Po wykonaniu łatwych przekształceń, otrzymamy:

$$\sin \left( \frac{\Psi_1}{au} - \frac{\pi}{4} \right) = \frac{\sqrt{2}}{2} \frac{1+m}{1-m}; \quad (42)$$

$$\cos \left( \frac{\Psi_2}{au} - \frac{\pi}{4} \right) = -\frac{\sqrt{2}}{2} \frac{1+m}{1-m}. \quad (43)$$



Uwzględniając, że:  $-1 < m < 0$ , otrzymujemy następujące granice na parametry  $\Psi_1$  i  $\Psi_2$ :

$$\frac{\pi}{4} < \frac{\Psi_1}{au} < \frac{\pi}{2}; \quad \frac{3}{4}\pi < \frac{\Psi_2}{au} < \pi.$$

Parametry te związane są prostą zależnością:

$$\frac{\Psi_2}{au} - \frac{\Psi_1}{au} = \frac{\pi}{2}. \quad (44)$$

Powyżej wyprowadzone wzory pozwalają już rozwiązać zadanie określenia wymiarów tunelów, ograniczonych dwiema liniami prądu rozpatrywanego przepływu. Oczywiście obydwie linie muszą należeć do tej samej grupy krzywych, t. j. położonych albo pod krzywą graniczną  $\Psi_g$ , albo — nad nią.

Dla orientacji podamy kilka przykładów liczbowych.

Utwórzmy najpierw tunel z krzywych, położonych poniżej linii granicznej. Jako zarys jednej ścianki niech służy linia prądu  $\Psi_1$ ; zaizosem drugiej niech będzie linia prądu  $\Psi_\lambda$ , określona warunkiem, że na przecięciu jej z osią  $x$  prędkość jest równa  $\lambda u$ . Chcąc mieć materiał porównawczy do poprzednio podanych przykładów odmiennych przepływów, z góry postawimy warunek, by współczynnik  $q = \frac{h}{b}$  posiadał tę samą wartość, jaką miał w poprzednich przykładach, t. j.  $q = 3,43$ , skąd wynika:

$$\Psi_\lambda = 1,41 \Psi_1.$$

Przykład I:  $m = -0,5$ . Z równania (42):  $\Psi_1 = 1,02 au$ , a zatem:  $\Psi_\lambda = 1,44 au$ , skąd światło kana-

łu:  $b = 0,42 a$ ; światło zaś kolana  $c = -(x_\lambda - x_1)$  znajdujemy, wyznaczając odcięte  $x_\lambda$  i  $x_1$  z równań (23), otrzymujemy tedy  $c = 0,61 a$ ; wobec czego:  $p = \frac{c}{b} = 1,46$ ;

układ prędkości częściowo charakteryzuje współczynnik:  $\lambda = 0,46$  [ze wzoru (41)].

Przykład II:  $m = -0,2$ . Postępując analogicznie do poprzedniego, otrzymamy:  $\Psi_1 = 1,28 au$ ;  $\Psi_\lambda = 1,80 au$ ;  $b = 0,52 a$ ;  $c = 0,82 a$ ;  $p = 1,57$ ;  $\lambda = 0,45$ .

Dla  $m = 0$  lub  $m = -1$  otrzymalibyśmy wymiary takie, jak w przykładzie dla potencjału (14).

A teraz dla tych samych wartości  $m$  utworzymy tunel z linii prądu, położonych poniżej linii granicznej; w tym więc wypadku będziemy mieli przede wszystkim

do spełnienia zależność:  $\pi a \frac{\Psi_\lambda}{u} = 1,41 \left( \pi a - \frac{\Psi_2}{u} \right)$ .

Przykład III:  $m = -0,5$ ;  $\pi - \frac{\Psi_2}{au} = 0,55$ ;

$\pi - \frac{\Psi_\lambda}{au} = 0,77$ ;  $b = 0,22 a$ ;  $c = 0,30 a$ ;  $p = 1,33$ ;  $\lambda = -0,56$ . Prócz tego należy tu dołączyć wymiar  $l_2 = 0,62 a$  dla krzywej  $\Psi = \Psi_2$ , oraz odpowiednio  $l_\lambda = 0,95 a$  dla  $\Psi = \Psi_\lambda$ ,

Przykład IV:  $m = -0,2$ ;  $\pi - \frac{\Psi_2}{au} = 0,29$ ;

$\pi - \frac{\Psi_\lambda}{au} = 0,41$ ;  $b = 0,12 a$ ;  $c = 0,15 a$ ;  $p = 1,24$ ;  $\lambda = -0,63$ ;  $l_2 = 0,39 a$ ;  $l_\lambda = 0,57 a$ .

## Zagadnienia techniczne rozwiązywane zapomocą metody fotoelastyczności<sup>1)</sup>

Napisał Prof. Dr. E. G. Coker, czł. Ak., czł. Royal Society,  
Dziekan Wydziału Inżynieryjnego Uniwersytetu Londyńskiego.

*Dynamometry sprężynowe w zastosowaniu do doświadczeń nad modelami przezroczystymi.* Dalszą, choć mniejszą już trudność, napotykaną często przy badaniu rozkładu naprężeń w modelu, stanowi prawidłowe obciążenie go w sposób łatwy i dogodny. Prawdopodobnie, najwygodniejszym do tego byłby ciężar (odważnik), o ile możnaby było go wszędzie stosować. Jest tak jednak istotnie tylko w razie badań skutków zginania, natomiast obciążenie takie staje się wysoce niewygodnym, a czasem nawet wręcz niewykonalnym, w wypadku sił rozciągających, ściskających lub ścinających, ponieważ rząd wielkości naprężenia, przy którym zachowuje moc proste prawo optyczne<sup>2)</sup>, jest zazwyczaj bardzo duży, naprz. dla nitrocelulozy naprężenie to wynosi  $250 \text{ kg/cm}^2$  (3500 funt. na 1 cal kw.). Manipulowanie tak wielkimi ciężarami, jakie byłyby potrzebne do wywołania tego rodzaju naprężeń, jest więc zazwyczaj bardzo trudne. Można jednak z wielką korzyścią stosować do tych badań małe maszyny probiercze o pojedynczej lub podwójnej dźwigni, obciąża-

ne zapomocą wagi sprężynowej o dużej skali z odpowiednią podziałką.

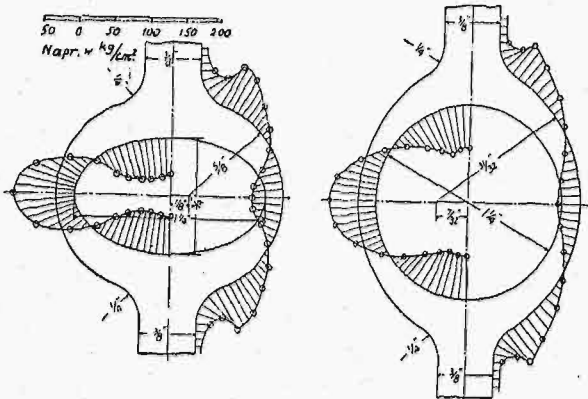
Urządzenie takie stosuje się naprz., w wypadku porównywania naprężeń w rozciąganej próbce z naprężeniami; zaobserwowanymi w badanym modelu. Bardzo korzystnym jest wówczas użycie bardzo małej dwudźwigniowej maszyny probierczej, ustawionej na krążku, zaopatrzonej w podziałki oraz w otwór, przez który przechodzi wiązka promieni. Krążek jest umocowany na pręcie pionowym zapomocą odpowiedniego zacisku, nadto posiada poziome prowadnice krzyżowe w podstawie i wreszcie może się obracać około osi optycznej wiązki spolaryzowanych promieni. Zapomocą tych trzech urządzeń nastawnych, rozciąganej próbce może być nadane dowolne położenie w polu widzenia.

Dla niektórych wszakże pomiarów nawet i ten przyrząd może się okazać niewygodnym, i z większą korzyścią mogłyby być stosowane wagi sprężynowe o małych wymiarach, aczkolwiek są one zwykle zbyt duże dla niezbędnych w danym wypadku średnich obciążeń, sięgających od 90 do 220 kg. Stało się tedy istotnie niezbędnym utworzenie odmiennej postaci wagi sprężynowej, mianowicie posiadającej sprężynę pierścieniową tak ukształtowaną, by w granicach sprężystości każdej jej części powstawała dostatecznie wielka zmiana dłu-

<sup>1)</sup> Ciąg dalszy do str. 580 w № 39 r. b.

<sup>2)</sup> Patrz wykaz bibliograficzny, p. 26.

gości w pewnym kierunku, którą to zmianę możnaby było uwidocznic w powiększeniu zapomocą wskazówki i cyferblatu. Dla osiągnięcia odpowiedniego kształtu sprężyny, możnaby było skorzystać z doświadczeń nad modelami przezroczystymi, celem znalezienia takiego

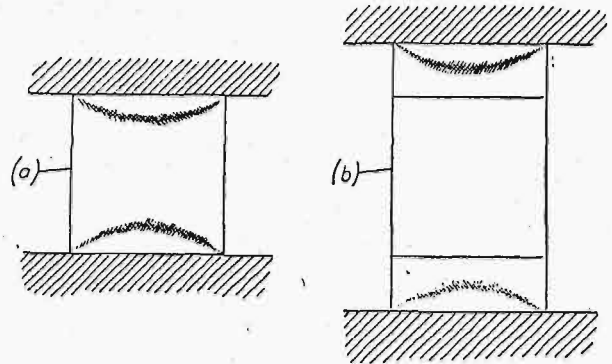


Rys. 9.

Rozkład naprężeń wzdłuż konturów pierścieniowej sprężyny.

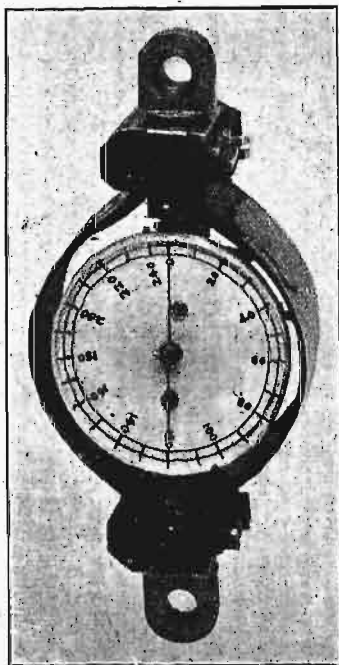
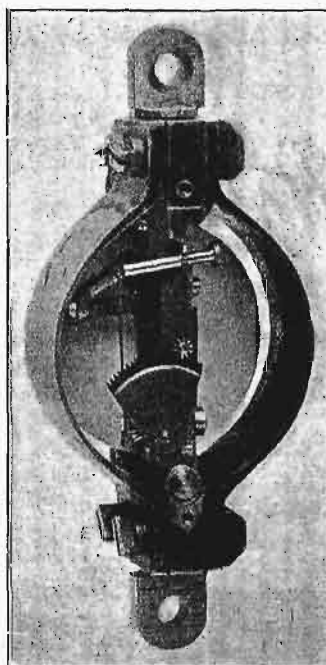
jej kształtu, aby naprężenia we wszystkich miejscach były poniżej granicy sprężystości. Niektóre też modele obciążone tych sprężyn były ostatnio zbadane zapomocą światła spolaryzowanego, co dało możliwość łatwego zdania sobie sprawy z charakterystycznych cech rozkładu w nich naprężeń, ponieważ najczęściej mniejsze naprężenia główne nie były tak wielkie, by wywoływały silne efekty kolorowe i zapomocą zwykłej skali barw można było bardzo dokładnie ocenić występujące naprężenia. Na rys. 9 widoczne są dwa ze zbadanych kształ-

sił rozciągających lub też w kierunku poprzecznym do nich, zapomocą mechanizmu, wolnego od błędu zerowego. Po przewyciężeniu pewnych trudności, warunek ten został spełniony i wykonano w ten sposób wiele przyrządów sprężynowych o wielkości mniej więcej dużego zegarka, które pracowały z wynikiem zupełnie zadowalającym. Na rys. 10 widzimy taki dynamometr sprężynowy, z cyferblatem o średnicy 50 mm, ważący 35 g, który mierzy obciążenia do 110 kg. Byłoby tak samo łatwo wykonać tę sprężynę dynamometryczną do mierzenia obciążeń sięgających 1 t lub, idąc w kierunku przeciwnym, do ważenia listów, nie zmieniając wymiarów więcej, niż tego wymagają proporcje



Rys. 12.

- a) Przezroczysty klocek ściskany między płytami maszyny probierczej.  
b) Ten sam klocek ściskany za pośrednictwem klocków dodatkowych z tego samego materiału i o tym samym przekroju poprzecznym.

Rys. 10.  
Dynamometr.Rys. 11.  
Widok mechanizmu dynamometru.

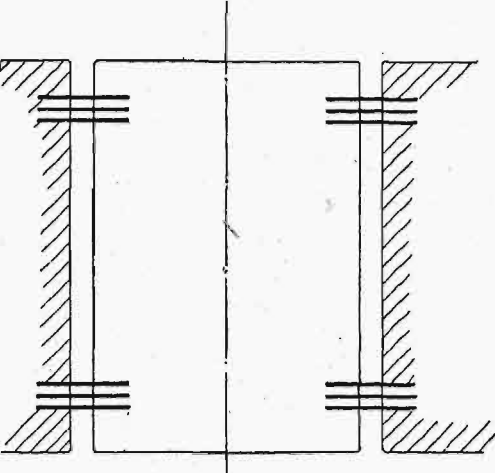
tów takich sprężyn wraz z zaznaczeniem znalezionych naprężeń, panujących na obwodach. Po ustaleniu w ten sposób najodpowiedniejszego kształtu sprężyny, pozostawało tylko powiększyć wydłużenia jej w jakimkolwiek obranym kierunku, naprz., w kierunku działania

samej sprężyny. Dalszą zaletą tego kształtu, prócz znacznego zmniejszenia wymiarów, jest to, że energia nagromadzona w sprężynie jest tak niewielka, iż w razie pęknięcia modelu, uwolniona energia jest zbyt nieznaczna, by mogła wywołać jakiegokolwiek uszkodzenie przyrządu lub samej wagi, wskutek raptownego cofnięcia się wskazówki na zero wraz z połączonym z nią mechanizmem.

W związku z pomiarami obciążeń byłoby może pożytecznym nadmienić, że wypadek czystego ściskania wymaga specjalnego rozważenia, ponieważ jest nadzwyczaj trudno odtworzyć go dokładnie, ze względu na wadliwość ustrojów większości stosowanych obecnie maszyn probierczych, oraz z powodu charakteru układu naprężeń stykowych, jaki powstaje przy ściskaniu ciał o różnych właściwościach fizycznych i o różnych wymiarach. Okazało się bowiem, że jeśli np. sześcian poddamy ściskaniu pomiędzy dwiema płytkami równoległymi, to powstaje naogół na każdej jego podstawie obszar, w którym naprężenia zależą po części od różnicy właściwości fizycznych obu stykających się ciał, po części zaś od wymiarów ich powierzchni, tak iż czyste ściskanie wystąpi tylko w części środkowej, jak to wskazano na rys. 12.

Jeżeli jednak klocek jest ściskany między dwiema płytkami o tych samych co on wymiarach i z tego samego materiału, to — jak widać z tegoż rysunku —

kłócenia miejscowe układu naprężeń zachodzą tylko w płytkach, zaś w środkowym kločku występują prawie równomierne naprężenia ściskające. Zachowanie równoległości płyt ściskających, a nadto zapewnienie możliwości mierzenia całkowitego obciążenia związane jest z poważnymi trudnościami mechanicznymi. Trudności te najskuteczniej są usunięte w znanej maszynie probierczej Emery'ego. Małe jednak maszyny ściskające, jakiesą potrzebne przy badaniach zjawisk fotoelastyczności, dogodnie jest stosować tej postaci<sup>3)</sup>, jaka od wielu lat była w użyciu w moim laboratorium i która składa się z długiego tłoczka cylindrycznego (rys. 13), osadzonego w głównej ramie maszyny za pośrednictwem wspólnym środkowych przeponek (diafragm) na każdym końcu, umożliwiającą drobne przesunięcia osiowe przy odkształceniach sprężystych przepon pierścieniowych. Obciążenie dolnej płyty może



Rys. 13. Tłoczek, zabezpieczony przez przepony, o ograniczonym skoku osiowym.

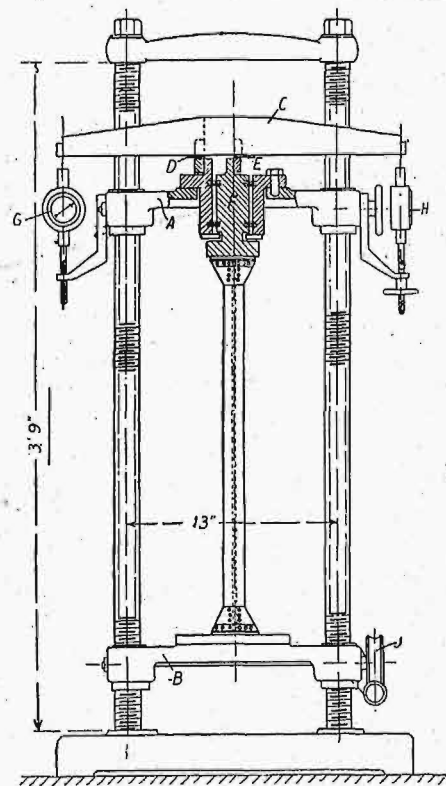
być wykonane w jakikolwiek odpowiedni sposób, byleby tylko była zapewniona ścisła równoległość obydwu płyt cisnących. Siła  $P$ , przyłożona do związanej z tłokiem górnej płyty, jest mierzona dogodnie zapomocą pojedynczej dźwigni, która z jednej strony łączy się z tłokiem za pośrednictwem cienkiej płytki sprężynowej, zaś z drugiej jest zamocowana pokrewnie na innej płycie sprężynowej w podobny sposób, jak w maszynie probierczej Emery'ego. Zastosowanie płytek sprężynowych i przewodnic przeponowych, zmontowanych w stanie nienaprężonym, zamiast zespołu noży, posiada tę dodatkową zaletę, że energia nagromadzona w nich wskutek odkształcenia odzyskuje się przez powrót do położenia równowagi i współdziała osiągnięciu tego stanu, podczas gdy działanie wszystkich mechanizmów ciernych jest nieodwracalne.

Siła obciążająca może być mierzona ciężarkami na końcu dźwigni, albo—jeśli jest zbyt duża—zapomocą małego dynamometru sprężynowego, o którym była mowa. Tego rodzaju maszyna, w większej skali, nadaje się do zastosowania przy badaniu modeli o znacznych wymiarach; jedna z maszyn tego typu była zbudowana przed paru laty przez General Electric Company of America, przyczem szczegóły jej zaprojektowane były wspólnie z przedstawicielami tego T-wa, pp. A. L. Kimball'em, F. H. Whitecomb'em i Macklow Smith'em. Maszyna ta nadawała się zarówno do prób na rozciąganie, jak i na ściskanie. W większej maszynie, zbudowanej obecnie w londyńskim Kolegium Uniwersyteckim, zastosowano to samo urządzenie, widoczne na rys. 14. Obie głowice tej maszyny: górna  $A$ , wraz z przyrządem mierniczym, i dolna  $B$ , do której przykładane są obciążenia, są umocowane na

gwintowanych stojakach na wpustach; napęd ślimakowy pozwala ustawić każdą głowicę w dowolnym położeniu. Główna dźwignia  $C$  do mierzenia obciążenia opiera się na stalowym nożu  $D$ , którego kształt jest tak określony (drogą zastosowania metod fotoelastyczności), że jego tendencja do wybożenia pod bezpośrednim obciążeniem jest sprowadzona do minimum; w ten sposób uniknięto trudności napotykaną w poprzednich konstrukcjach. Końce tej płyty są tak ukształtowane, że zapewniają szeroką powierzchnię podparcia jej na ramie, zaś dźwignia główna jest tak wykonana, że nie może zachodzić poślizg między nożem a dźwignią. Druga podobna płyta stalowa (noż)  $E$  do tłoka  $F$  ma ten sam kształt; wreszcie każdy koniec dźwigni  $C$  jest zaopatrzony w podobne płyty stalowe do umocowania ciężarów lub, o ile stosowane są duże obciążenia, do dynamometrów  $G$  i  $H$  opisanego wyżej ustroju.

Na rysunku widzimy kolumnę ustawioną do badania i obciążoną przez dolną głowicę zapomocą koła ślimakowego  $J$ . Obciążenie mierzone jest zapomocą dynamometru  $H$ , zaś dynamometr  $G$  jest wyłączony przez wyjęcie wpustu.

Związek pomiędzy układem naprężeń w modelach przezroczystych a naprężeniami w ustrojach rzeczywistych i maszynach. Pytanie, jak dalece można polegać na naprężeniach obserwowanych w płaskich modelach przezroczystych przy ocenie naprężeń w rzeczywistych ustrojach i częściach maszyn, wydaje się zupełnie naturalnym. To też sprawa ta była poddana szczegółowym badaniom pod wszelkimi możliwymi względami. Można udowodnić, że naogół zachodzi tu zupełna tożsamość, dowodzenie to jednak byłoby zbyt



Rys. 14. Maszyna probiercza do dużych modeli przezroczystych.

długie, by je tu przytaczać. Możemy więc wskazać tylko, że dowód ten znaleźć można w wielu pracach mojego kolegi, prof. Filon'a, Mesnager'a i moich własnych. Wskazuje on, że przy zachowaniu podobieństwa, układy naprężeń, wywołanych w ciałach z różnych materiałów, są ściśle te same w granicach sprężystości każdego materiału, jeżeli ciało jest ograniczone prostym konturem, lub jeżeli obciążenia na poszczególnych konturach równoważą się same przez się. Jest to uzasadnione teoretycz-

nie i, chociaż dowód ten można znaleźć w rozprawach o sprężystości, zasługuje on jednak na to, by go przytoczyć na tem miejscu.

<sup>3)</sup> Patrz wykaz bibliograficzny, p. 11.



Równania równowagi dla płyty obciążonej w jej własnej płaszczyźnie mają postać następującą:

$$\frac{\partial N_x}{\partial x} + \frac{\partial T_x}{\partial y} = \frac{\partial N_y}{\partial y} + \frac{\partial T_y}{\partial x} = 0, \quad (1)$$

jeśli pominiemy, jako nieistotne, wyrazy zawierające siły na jednostkę objętości. Rozwiązanie tych równań daje naprężenia w zależności od funkcji  $\chi$  w postaci:

$$N_x = \frac{\partial^2 \chi}{\partial y^2}, \quad N_y = \frac{\partial^2 \chi}{\partial x^2}, \quad T_x = -\frac{\partial^2 \chi}{\partial x \partial y}, \quad (2)$$

podczas gdy równania odkształceń mogą być z łatwością przekształcone w:

$$\frac{\partial^2 e_x}{\partial y^2} + \frac{\partial^2 e_y}{\partial x^2} - \frac{\partial^2 g_s}{\partial x \partial y} = 0. \quad (3)$$

Równania dające zależność między odkształceniami i naprężeniami, są nast.:

$$\left. \begin{aligned} m E e_x &= m N_x - N_y \\ m E e_y &= m N_y - N_x \\ m E e_s &= -(N_x + N_y) \\ m E g_s &= 2(m+1) T_x \end{aligned} \right\} \quad (4)$$

i można łatwo wyrazić równanie zasadnicze płaskich naprężeń zapomocą tych zależności tylko w funkcji  $\chi$  w postaci:

$$\frac{\partial^4 \chi}{\partial x^4} + \frac{\partial^4 \chi}{\partial y^4} + 2 \frac{\partial^4 \chi}{\partial x^2 \partial y^2} = 0,$$

nie zawierającej, jak widać, współczynników sprężystości, a zatem naprężenia, które są wszystkie funkcjami  $\chi$ , nie mogą zależeć od tych współczynników.

Mamy zatem, poza doświadczeniem, wniosek oparty na podstawach teoretycznych, że doświadczenia nad modelami przezroczystymi mogą istotnie pouczyć nas, jakie są naprężenia w materiałach używanych przez inżynierów. Gdyby było możliwe rozwiązanie ostatniego równania  $\nabla^4 \chi = 0$  w sposób najzupełniej ogólny, moglibyśmy wyznaczyć rachunkowo naprężenia w każdym płaskim ciele, poddanem jakimkolwiek obciążeniu w jego własnej płaszczyźnie. Zdaje się jednak nieprawdopodobnym, by takie rozwiązanie miało być znalezione, a nawet gdyby tak było, to zapewne jego zbyt skomplikowana postać uniemożliwiłaby zastosowanie go w większości wypadków zdarzających się w praktyce.

Aczkolwiek do opisywanych tutaj doświadczeń dalsze rozważania teoretyczne nie będą potrzebne, musimy jednakże choć w paru słowach wspomnieć o ważnej kwestji rozkładu naprężeń w ciałach, stanowiących części mechanizmów wieloczołonowych, w rodzaju naprz. korbowodu, w których obciążenia na konturach wewnętrznych nie równoważą się zosobna i niezależnie jedno od drugich. W tym wypadku zasadnicze równanie naprężeń nie jest wolne od współczynników sprężystości, i badania przy pomocy metod fotoelastyczności wymagają poprawki, uwzględniającej różnice właściwości materiałów ciała i modelu. Ostatnie jednak badania Filona<sup>4)</sup> wskazują, że w większości wypadków poprawka ta mieści się w granicach błędów doświadczenia, i że w każdym wypadku wartość jej może być określona doświadczalnie.

**Obciążenia stykowe i naprężenia. Stylk punktowy.** Obszernym polem prac, na którym badania przy pomocy metody fotoelastyczności mogą oddać znaczne usługi, jest sprawa rozkładu sił stykowych pomiędzy współdziałającymi powierzchniami płaskimi i krzywymi.

<sup>4)</sup> „On Stresses in Multiply-connected Plates“, Prof. Filon, F. R. S., British Association Report, 1922.

Taki zespół powierzchni styku znajduje w praktyce liczne zastosowania techniczne. Najprostszym z możliwych tu wypadków jest ten, kiedy obciążenie siłą skupioną  $P$  jest przyłożone prostopadle do prostej krawędzi półnieskończonej tarczy, dla której rozwiązanie równania (5), daje

$$\chi = \frac{P}{\pi} r^{\Theta} \sin \Theta, \quad (6)$$

czyniąc zadość wszelkim warunkom zadania, i dając układ naprężeń na podstawie równań (2), wyrażający się w współrzędnych biegunowych  $(r, \Theta)$  w sposób nast.<sup>5)</sup>:

$$\Theta \Theta = r \Theta = 0, \quad r r = \frac{2P}{\pi} \cdot \frac{\cos \Theta}{r},$$

a więc naprężenie rozchodzi się promieniowo we wszystkich kierunkach płyty od punktu przyłożenia siły, i linjowo ze wzrostem odległości, zmieniając się również w zależności od kąta pochylenia kierunku, proporcjonalnie do jego cosinusa. Linje naprężeń głównych schodzą się wszystkie w punkcie przyłożenia siły, zaś rzut pionowy układu naprężeń składa się z kół, zakreślonych z punktu przyłożenia obciążenia, jak to widać na

rys. 15; trzeba jednak zaznaczyć, że te ostatnie są linjami zerowych naprężeń głównych, ponieważ

tu  $\Theta \Theta = 0$ . Optycznie ten układ naprężeń przedstawia się jako szereg kolorowych prążków o kształcie zamkniętych kół, stycznych do obciążonej powierzchni w punkcie przyłożenia siły, których środki leżą na linii jej oddziaływania, ponieważ w tym wypadku zachodzą związki:

$$p - q = r r = \Theta \Theta = \frac{2P}{\pi} \cdot \frac{\cos \Theta}{r} = A, \quad (8)$$

gdzie wielkość  $A$  zależy od porządku prążka kolorowego.

Dla określonej więc wartości  $A$ , mamy przy odległości  $R_0$ , bezpośrednio pod punktem przyłożenia:

$$\frac{2P}{\pi} \frac{1}{R_0} = A,$$

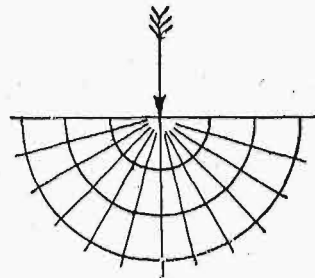
tak że:  $r = R_0 \cos \Theta$ .

Niektóre z kół, odpowiadających temu ostatniemu równaniu, są pokazane na rys. 16, na którym uwidocznione są również układy naprężeń, przecinających koła naprężeń głównych.

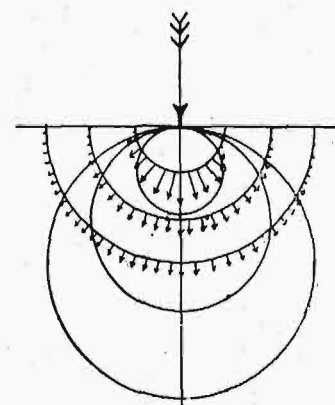
Taki układ naprężeń był w przybliżeniu sprawdzony przez Carus Wilson'a<sup>6)</sup>, jak również przez

<sup>5)</sup>  $r r$  — naprężenie normalne w kierunku promienia wodzącego,  $\Theta \Theta$  — naprężenia normalne prostopadle do promienia wodzącego.

<sup>6)</sup> „The Influence of Surface Loading in the Flexure of Beams“, Prof. C. A. Carus-Wilson, Phil Mag., Dec., 1891. Patrz także wykaz bibliograficzny, p. 30.



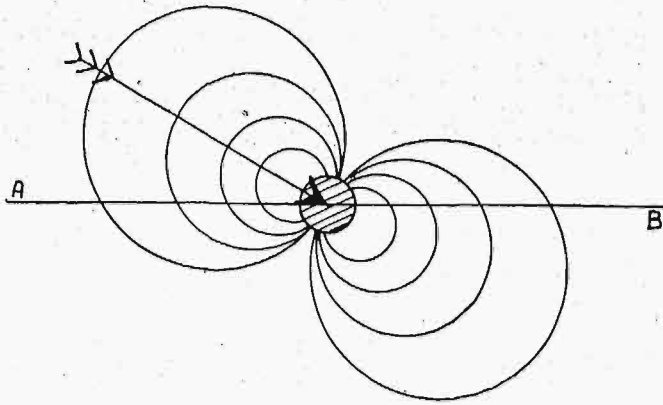
Rys. 15. Linje naprężeń głównych przy normalnym obciążeniu, skupionem w punkcie krawędzi cienkiej płytki.



Rys. 16. Rozkład naprężeń przy normalnym obciążeniu, skupionem w punkcie krawędzi cienkiej płytki.



Mesnager'a<sup>7)</sup>. Należy podkreślić, że jeżeli skupione obciążenie jest przyłożone wewnątrz obwodu bardzo rozległej płyty, nie zaś do jej krawędzi, to powstaną dokoła promieniowe naprężenia (styczne), wyobrażane przez dwa układy prążków kolorowych w kształcie kół, których środki leżą wzdłuż linii działania siły, i które przechodzą przez punkt jej przyłożenia, jak to wskazano na rys. 17; można to wykazać, zaciskając w bardzo małym zacisku płytkę nitroceluloidową i przykładając do niej siły styczne.



Rys. 17. Układ wstęg barwnych przy obciążeniu siłą styczną w jakimkolwiek punkcie płytki.

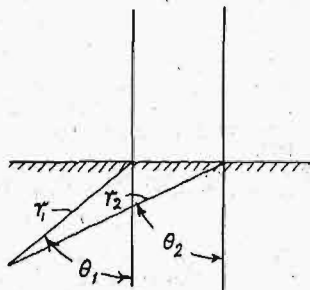
W praktyce skupienie obciążenia nigdy nie jest tak dokładne, jak to przyjmuje prosta teoria. Działanie siły zawsze rozpościera się na obszar skończony. Jeżeli przytem rozkład jest równomierny i ciśnienie wzdłuż prostej krawędzi tarczy ma wartość  $p$ , to można je obliczyć, ponieważ wtedy równanie

$$\chi = \frac{p}{2\pi} (r_1^2 \Theta_1 - r_2^2 \Theta_2) \quad (10)$$

czyni zadość wszystkim warunkom, o ile  $r_1, \Theta_1$  i  $r_2, \Theta_2$  są mierzone od końców obciążonej części krawędzi (rys. 18). Mamy w tym wypadku następujący układ naprężeń:

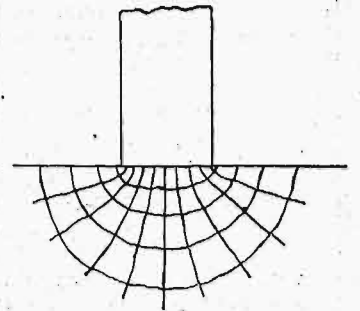
$$\left. \begin{aligned} \widehat{r r} &= \frac{p}{\pi} (\alpha + \sin \alpha) \\ \widehat{\theta \theta} &= \frac{p}{\pi} (\alpha - \sin \alpha) \\ \widehat{r \theta} &= 0 \end{aligned} \right\} \quad (11)$$

odniesiony do początku, położonego na przecięciu dwusiecznej kąta  $(\Theta_1 - \Theta_2) = \alpha$  z krawędzią tarczy. Liniami naprężeń są przeto stożkowe, których ogniska leżą w końcach obciążonej części krawędzi tarczy, jak to widać na rys. 19. Jednakże nawet w wypadku bardzo dużej płyty nie można otrzymać ściśle powyż-



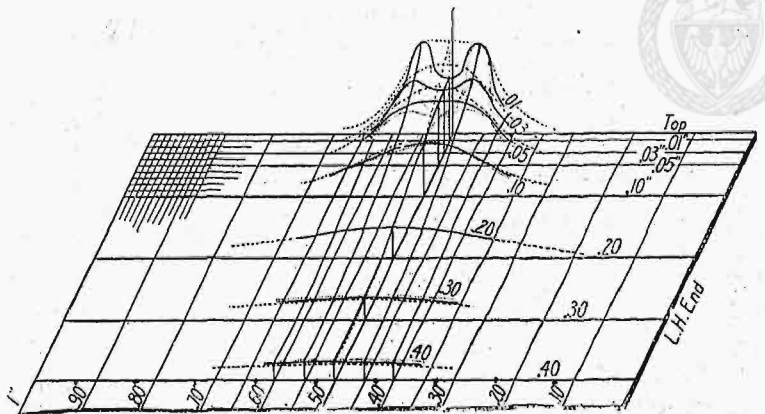
Rys 18. Układ współrzędnych dla płyty jednostajnie obciążonej na części krawędzi.

szego układu, jako że jednostajne rozłożenie ciśnienia na bardzo małym obszarze, stanowiącym część obszaru większego, zdaje się być niemożliwym. Potwierdza to doświadczenie, w którym kwadratowa płytką o boku 25 mm jest obciążona w środku jednego boku za pośrednictwem drugiej płytki o długości boku 3 mm; występuje bardzo skomplikowany układ naprężeń, spowodowany nierównomiernym ciśnieniem na powierzchni styku; naprężenia w punktach krańcowych są znacznie większe niż w innych. Wykazano rzeczywiście<sup>8)</sup>, iż zachodzi nie tylko niejednakowe ciśnienie, lecz że naogół podparta krawędź dolna wielkiej płyty (tarczy), obciążonej na górnej krawędzi w sposób wyżej opisany, znajduje się także pod wpływem nierównomiernego ciśnienia stykowego, które usiłuje ześrodkować się około linii obciążenia, podczas gdy części zewnętrzne krawędzi, poza linią obciążenia, mają skłonność do unoszenia się ku górze.



Rys. 19. Linie naprężeń głównych przy równomiernym obciążeniu normalnym drobnej części krawędzi bardzo dużej płyty.

Było to także wykazane niezależnie przez prof. Filon'a<sup>9)</sup>, który dowiódł, że klocek o wysokości  $b$  nie może się dotykać swą dolną krawędzią do podpory poza granicami  $1,35 b$  od linii działania pojedynczej siły skupionej. Na szczególną uwagę zasługuje zagadnienie,



Rys. 20. Rzeczywisty rozkład naprężeń w kločku, obciążonym normalnie na małej części krawędzi.

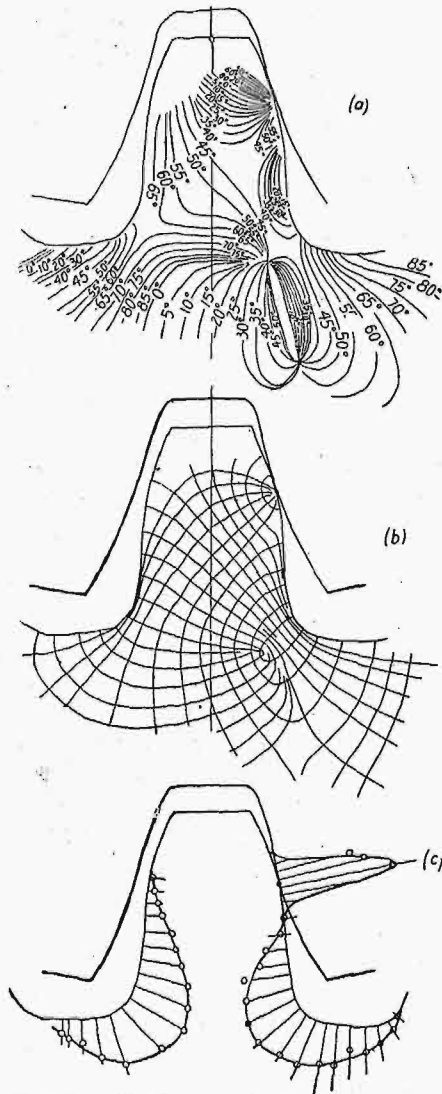
jak wielkie jest ciśnienie stykowe na końcach obciążonego obszaru górnej powierzchni tarczy. Pomiary rozkładu naprężeń potwierdzają, iż naprężenia są w tych punktach bardzo wielkie; układ ich wskazuje wyraźnie widok półperspektywiczny, podany na rys. 20. Widzimy że, w samym środku linii styku ciśnienie jest najmniejsze i zbliża się do maximum w punktach końcowych. Co więcej, opisany typ układu naprężeń zachodzi nie tylko na krawędzi, lecz zachowuje się i niżej i zanika tylko bardzo powoli w miarę posuwania się w dół tarczy, aż wreszcie będąc wciąż nierównomiernym osiąga w przekrojach poziomych, wartość

<sup>7)</sup> Utilisation de la double réfraction accidentelle du Verre à l'étude des efforts intérieurs dans les solides, M. A. Mesnager, Association Internationale pour l'essai des matériaux. VI-e Congrès. New York. 1912.

<sup>8)</sup> Patrz wykaz bibliograficzny, p. 30.

<sup>9)</sup> „On the Approximate Solution for the Bending of a Beam of Rectangular Cross-section under Any System of Load“, L. N. G. Filon, Trans. Royal Soc., Series A, Vol. 207.

największą w punktach środkowych. Jakżeśmy to już widzieli wcześniej, nawet w wypadku obciążenia



Rys. 21. a) Izokliny. b) Linje naprężeń głównych. c) Naprężenia na konturze zęba koła zębatego.

kłocka na całej powierzchni obu jego przeciwległych podstaw, naprężenia nie są na nich równomierne, o ile

styka się ze sobą różne materiały, jak to prawie zawsze bywa przy badaniach na ściskanie sześciątów lub prostopadłościów z cementu, cegieł i t. p. Wydaje się istotnie rzeczą niemożliwą osiągnięcie bezwzględnie jednostajnych naprężeń w tych wypadkach, przynajmniej dopóki stykające się powierzchnie nie są wykonane z tego samego materiału i nie mają tych samych wymiarów.

Przechodząc do układu naprężeń w wypadku stykania się krzywych powierzchni, znajdujemy oszałamiającą różnorodność zagadnień praktycznych, pochłaniających naszą uwagę. Zatrzymam się jednak po krótko tylko na jednym z nich, mianowicie na ciśnieniach stykowych zębów kół zębatych.

Obserwując model takich zębów w polaryskopie, nie możemy nie zwrócić uwagi, że ciśnienia na krzywych powierzchniach wywołują układy prążków kolorowych tegoż typu co przy kontakcie linjowym, cokolwiek jeno zmienione w stosunku do opisanego poprzednio wypadku, wobec krzywości konturów. Nadto występują tu znaczne naprężenia wywołane przez siły zginające, które powodują niebezpieczne naprężenia w pniach zębów. Była już na to zwrócona uwaga w jednej z poprzednich prac<sup>10)</sup>. Doświadczenia<sup>11)</sup> dokonane przez mego poprzedniego asystenta Dr. Chakko, obecnego profesora uniwersytetu w Madrasie, dają nam obraz linii naprężeń głównych w zębie, z których jeden przykład jest pokazany na rys. 21 b. Ten układ naprężeń jest nieco skomplikowanym wypadkiem naprężeń stykowych, ze względu na zakrzywiony kształt konturu, na którym, jak to wskazują prążki barwne, naprężenia osiągają wartości maksymalne. Układ naprężeń na konturze tego zęba, w danym jego położeniu, jest pokazany na rys. 21 c. Zmiany tych naprężeń wzdłuż konturu wskazują, jak wielkie są tu naprężenia stykowe i jak dalece odbiegają one od wartości, branych obecnie w rachubę przy obliczeniach zwykłymi sposobami. W ostatnich czasach podobnymi metodami były wyznaczane układy naprężeń w kołach zębatych przekładni od silników w lokomotywach kolei elektrycznych<sup>12)</sup>. W laboratorium mojem były również zbadane naprężenia w pierścieniach tłokowych i w ogniwach łańcuchów.

(d. c. n.)

## Zmiana sposobu obliczania blach kotłowych.\*)

Napisał Prof. Edwin Hauswald.

**D**o obliczania grubości blach kotłów i naczyń dla większych ciśnień używa się, zgodnie z międzynarodowymi przepisami, wzoru

$$s = \frac{D p}{2 k z}, \quad (1)$$

zawierającego w mianowniku czynnik  $z$ , zwany „stosunkiem wytrzymałości przekroju” blachy ( $t-d$ ) $s$  w linii otworów na nity, do przekroju pełnego  $ts$ :

$$z = \frac{t-d}{t}, \quad (2)$$

W nowszych przepisach niemieckich nazwano  $z$  stosunkiem dobroci blachy (Güteverhältnis). Litera we wzorach oznaczają:  $s$  grubość blachy w  $cm$ ,  $D$ —śre-

dnicę wewnętrzną walca o stosunkowo cieniwej ścianie w  $cm$ ,  $t$ —długość podziałki,  $d$ —średnicę otworu na nit, a zarazem średnicę gotowego nita,  $k$ —naprężenie dopuszczalne w  $kg/cm^2$ , czyli  $R/x$ , to znaczy graniczną wytrzymałość blachy na ciągnięcie, podzieloną przez obrany stosownie stopień pewności  $x$ .

Użycie czynnika  $z$  opiera się na zastarzałej już hipotezie o sposobie działania połączeń nitowych, wedle której blachy ze sobą złączone ślizgają się bez tarcia po sobie i przenoszą siły na szyjki nitowe, narażone przytem na silne ciśnienia i na ścinanie, wy-

<sup>10)</sup> Wykaz bibliograficzny, p. 4 i 20.

<sup>11)</sup> Wykaz bibliograficzny, p. 36.

<sup>12)</sup> „Stress Distribution in Electric - Railway Motor Pinions as Determined by the Photo-elastic Method”. P. Heymans and A. L. Kimball, Am. Soc. Mech. Engrs, Dec., 1922.

\*) Referat wygłoszony na 2-m Zjeździe Inż. Mech. w Warszawie, dn. 19.IV.1925 r.



jątkowo też na zginanie. Hipoteza ta była dogodną abstrakcją, nie liczącą się jednak z rzeczywistym stanem rzeczy i wiodącą skutkiem tego do stosowania niepotrzebnie grubych i zbyt sztywnych blach kotłowych.

Wpływ czynnika  $z$  na grubość blachy jest przy połączeniach na zakładkę (bez łubek) bardzo silny.

Dla nitowania:

$$\begin{array}{ll} 1\text{-rzednego na zakładkę } z = 0,58, & 1/z = 1,72 \\ 2 \quad \text{ " " " } & z = 0,7, \quad 1/z = 1,43. \end{array}$$

Dla połączenia:

$$2\text{-rzednego z 2 łubkami } z = 0,76, \quad 1/z = 1,32.$$

Jak widać, czynnik ten zmusza nas do zgrubienia blachy w pierwszym przypadku o 72%, w drugim o 43%, w trzecim zaś o 32%.

Przy użyciu większych prędkości pary, ta metoda obliczania wiedzy do grubości, nie dających się praktycznie zastosować, a nie zapewnia konstrukcji większego stopnia bezpieczeństwa, ponieważ zbyt sztywne blachy są w tych razach gorsze od ścian bardziej podatnych.

Badania doświadczalne i liczne spostrzeżenia z praktyki technicznej nie potwierdziły słuszności założenia, na którym oparła się hipoteza o osłabieniu blachy przez szew nitowy, gdyż szwy nitowe okazywały się zawsze o wiele mocniejszymi, niż przypuszczano. Już dawniejsze doświadczenia wykonane w Anglii (Unwin, Report on riveting etc.) wykazały dla połączeń na zakładkę z 1-rzednym nitowaniem ponad 90% wytrzymałości w stosunku do wytrzymałości blachy pełnej, zaś dla połączeń trójrzednych ponad 87%. (Unwin, Machine design, str. 139). Nowsze doświadczenia dały zaś dla połączeń 1-rzednych na zakładkę 93% lub więcej, dla dwurzednych zaś nawet 103% wytrzymałości stosunkowej. Wyniki te są niewątpliwie zgodne z odczuciem stanu rzeczy na podstawie oceny przybliżonej.

Przy dobrze wykonanych połączeniach tego rodzaju, łąby nitów wywierają bezpośrednio ciśnienia jednostkowe, wynoszące średnio około 2000 at, przyciskając blachy do siebie z wielką siłą, skutkiem czego w zwykłych warunkach obciążenia, różniących się znacznie od warunków istniejących przy próbach krańcowych, dokonywanych na zerwanie, względnie zniszczenie konstrukcji, blachy nie mogą się względem siebie i nitów przesuwac, a naprężenia rozkładają się wzdłuż linii podziału odmiennie, niż według starej hipotezy, masy zaś żelaza skupione w szyjkach i łubkach nitów zupełnie zastępują części blachy, usunięte przy wywierceniu otworów nitowych. Jeżeli więc obawiać się można pewnego osłabienia walczaka kotłowego pod wpływem połączeń nitowych, to właściwie tylko przez oddziaływanie innego rodzaju, jak np. miejscowe zwiększenie masy żelaza w szwie nitowym, miejscowe i dosyć nagle zmieniające się usztywnienie powłoki naczynia, zbyt silne rozpieranie ścianek w otworach nitowych przy użyciu nadmiernego ciśnienia nitarki, szkodliwe następstwa nierównego rozgrzania tych części, zginanie połączeń odchylonych od kształtu kołowego i t. p. Do wyrównania jednak niepewności powstałych pod wpływem tych drugorzędnych następstw, wystarczy powiększenie teoretycznie obliczonej grubości blachy pełnej o 10 do 20%, zamiast dodatków od 30 do 70%, jakich wymaga dotychczasowy sposób liczenia.

Prof. Bach, po ogłoszeniu znanej swej teorii o znaczeniu oporu przeciw przesunięciu się blach nitowanych, dodał w dziele Maschinenelemente (XI wyd., str. 204, uwaga I) następujące wskazówki:

„Powyższy sposób obliczenia opiera się na przypuszczeniu, że przekrój  $(t - d)s$  przenosi całą siłę

przypadającą na szerokość podziałki  $t$ . Dopóki jednak blachy nie ślizgają się po sobie, założenie to nie jest uzasadnione. Przy przenoszeniu bowiem siły uczestniczą wszystkie części, w których tkwi opór przesunięcia, a więc także i te części do siebie przyciśnięte, które znajdują się przed osią szwa nitowego. Gdyby tedy przyjąć, że połowę siły przenoszą części blachy położone przed osią szwa, drugą zaś połowę części położone za osią, w takim razie na przekrój  $(t - d)s$  przypadłaby tylko połowa siły. Dodać jednak należy, iż naprężenia w tym przekroju nie będą rozłożone jednostajnie“.

Nie przytaczając dalszych uwag krytycznych, sądzę, że dawny sposób obliczania grubości blachy przy użyciu liczby  $z$ , który miał tylko pozory racjonalnej teorii, ale zupełnie nie odpowiada stanowi rzeczywistemu w dzisiejszych warunkach wykonywania połączeń nitowych, należy usunąć i zastąpić nowymi wskazówkami, lepiej dostosowanymi do różnych wpływów, jakim połączenia nitowe w użyciu technicznym ulegają. Przytem trzeba będzie uwzględnić także korzystne i szkodliwe następstwa robót dodatkowych, jak np. doszczelniania ręcznego lub mechanicznego, albo też dokładnego uszczelnienia szwa zapomocą samorodnego lub elektrycznego stapiania (spawania) krawędzi z drugą blachą.

Po zebraniu wyników badań doświadczalnych i spostrzeżeń z praktyki, będzie można podać dla każdego typu połączenia przybliżone wartości nowych współczynników  $a$  dla wzoru na grubość blachy.

Dogodnym będzie wtedy użycie go wprost jako mnożnika i dodanie liczby  $b$  na stratę przez rdzewienie:

$$s = a \frac{D p}{2 k} + b \quad (3)$$

Jeżeli narazie przyjmiemy, że do połączeń nitowych wystarczą następujące wartości na  $a$ :

$$a_1 = 1,25 \text{ dla 1-rzednego na zakładkę;}$$

$$a_2 = 1,15 \text{ do 1,2 dla 2-rzed. na zakładkę;}$$

$$a' = 1,14 \text{ do 1,15 " " z łubkami z obu stron;}$$

dla  $b$  zaś 0,1 lub więcej  $cm$ , to możemy porównać wyniki na przykładzie. Blachy wypadną oczywiście znacznie cieńsze, natomiast grubości szyjek nitowych i odstępy podziałowe  $t$  trzeba będzie dobierać inaczej, niż według obecnie używanych tablic i wzorów, ponieważ lepsze wyzyskanie wytrzymałości blachy wymagać będzie nieco grubszych nitów, lub też mniejszych odstępów podziałowych  $t$ .

Przykład. Obliczyć mamy grubość ścianki walca kotłowego z blachy o wytrzymałości na zerwanie  $R = 3600 \text{ kg/cm}^2$ , o średnicy  $D = 120 \text{ cm}$ , dla nadprężności pary  $p = 15 \text{ at}$ .

Naprężenie dopuszczalne dla blachy  $k = 700$ ; połączenie 2-rzędowe z blachami założonymi (bez łubek). Opór przeciw przesunięciu blach, przypadający na  $1 \text{ cm}^2$  przekroju szyjki nitowej  $k_n = 600$ , mnożnik  $a = 1,2$ , liczba  $b = 0,1 \text{ cm}$ :

$$s = 1,2 \frac{120 \cdot 15}{2 \cdot 700} + 0,1 = 1,54 + 0,1 = 1,64, \text{ zaokrąglone na } 1,7 \text{ cm.}$$

Siła przypadająca na jeden odcinek  $t$ :

$$P_1 = \frac{D p t}{2} = 2 f k_n; \quad (4)$$

$f$  jest to przekrój szyjki jednego nita; na podziale  $t$  działają tu 2 przekroje nitowe.

Z wzoru (4) obliczamy albo  $f$  i  $d$  nita, albo też przyjmawszy  $d$  wyznaczamy odpowiednią podziałkę  $t$ . Dla średnicy  $d = 2,4$  wypadnie podziałka  $t = 7,6 \text{ cm}$ .



Dotychczasowy sposób obliczania dałby przy  $z = 0,7$  grubość blachy  $s' = 1,84 \pm 0,1$ ; z zaokrągleniem 2 cm.

Ze względu na to, że grubość blachy wypadła znaczna, trzeba będzie przeliczyć rzecz dla nitowania trójrzędnego z zakładką i dla nitowań łubkowych, z obustronnie umieszczonymi nakładkami, przyjmując w ostatnim przypadku  $a' = 1,15$ .

W każdym jednak razie otrzyma się grubości blach mniejsze niż wedle dawnego sposobu, który jak już zaznaczono nie może być wiążącym z tego powodu, że nie jest ani rzeczowo ani technicznie uzasadniony.

Autor sądzi więc, że ze względu na racjonalny rozwój budowy kotłów należy przystąpić do zmiany dotychczasowego sposobu obliczania grubości blach na taki, któryby był zgodny z wynikami badań i potrzebami techniki, a możliwie prosty i zrozumiały w zastosowaniu.

Wnioski: 1. Zjazd Inżynierów - Mechaników zwraca uwagę komisji kotłowej przy Ministerstwie Przemysłu, kierownikom zakładów doświadczalnych i Stowarzyszenia Dozoru Kotłów na potrzebę krytycznego zbadania, czy dotychczasowy sposób obliczania blachy kotłowej, oparty na „stosunku wytrzymałości”  $z$ , jest należycie uzasadniony i czy nie możnaby zamiast tej liczby polecić stosowanie mnożników, opartych na zebranych już doświadczeniach i uwzględniających niekorzystne oddziaływanie różnych połączeń nitowych na wytrzymałość i trwałość blach kotłowych.

2. Wobec rozpowszechniania się różnych sposobów doszczelniania krawędzi blach w kotłach, zapomocą spawania elektrycznego lub samorodnego, oraz łączenia blach przez tego rodzaju spawanie lub stapianie, należy opracować nowe wskazówki i wzory co do określenia względnej wytrzymałości takich konstrukcji.

## O budowie ulic i chodników w St. Zj. Am. Półn.<sup>1)</sup>

Napisał inż. St. Manduk, Buffalo.

**B**udowa ulic miejskich zasadniczo nie różni się w niczem od budowy wyżej opisanych dróg z nawierzchnią ulepszoną.

Z początkiem roku 1920 ulice miast amerykańskich posiadały następujące rodzaje nawierzchni:

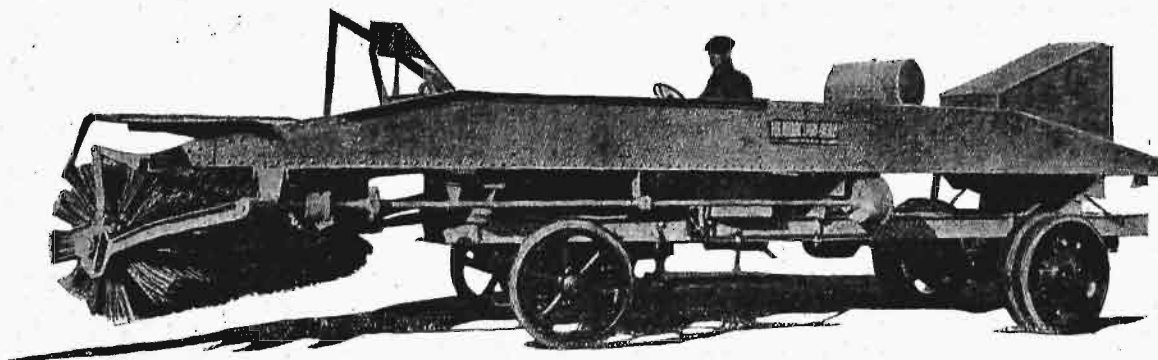
asfalt w płytach . . . . .	29,0
makadam zwykły . . . . .	16,0
klinkier . . . . .	14,0
kostka granitowa . . . . .	10,2
żwirowa . . . . .	10,2
asfalt betonowy . . . . .	7,3
makadam bitumiczny . . . . .	3,9
beton portlandzki . . . . .	2,9
kostka drewniana . . . . .	2,8
bloki asfaltowe . . . . .	1,7
inne nawierzchnie asfaltowe . . . . .	0,6
różne inne nawierzchnie . . . . .	1,4

Razem 100

i te liczby dowodzą, że większa część ulic miast amerykańskich jest wykładana asfaltem.

Ze względu na to, że eksploatacją tramwajów w Ameryce zajmują się przedsiębiorstwa prywatne, w umowach zawieranych przez zarządy miast z temi przedsiębiorstwami zastrzega się, że częścią ulicy znajdującej się pomiędzy szynami oraz na dwie stopy poza obrębem toru, opiekują się towarzystwa tramwajowe. Zarządy miejskie budują i utrzymują więc na ulicach, po których kursują tramwaje, tylko resztę jezdni i ścieki. Brukowanie ulic, któremi przechodzą tramwaje, było dosyć szczegółowo omówione w obszernym raporcie Konsula Rzpltej Polskiej z Buffalo<sup>2)</sup>. № 13 z r. 1921, p. t. „Tramwaje elektryczne w Stanach Zjednoczonych”, dokąd odsyłamy bliżej interesującego się tą sprawą czytelnika.

Chodniki. Wszystkie zamieszkałe ulice miast amerykańskich posiadają chodniki po obu stronach jezdni. Chodniki na ulicach handlowych i gęsto zaludnionych wypełniają zwykle całą przestrzeń ulicy po-



Rys. 52. Samochód zaopatrzone w szczotkę do zmiatania ulic i dróg pozamiejskich.

Wprawdzie liczby powyższe nie odpowiadają obecnemu stanowi bruków miejskich, gdyż w ostatnich latach miasta amerykańskie wydały ogromne sumy pieniędzy na ulepszenie nawierzchni ulic, to jednak

między obrzeżem a linią domów; szerokość ich zależy od szerokości ulicy i oddalenia budynków od obrzeży. Odległość linii budynków od obrzeży ustala na każdej nowotworzącej się ulicy zarząd miejski. Natomiast

<sup>1)</sup> Ciąg dalszy pracy p. t. „Drogi kołowe w St. Zj. Am. Półn.“, str. 573 w № 38 r. b.

<sup>2)</sup> Autorem jest również inż. St. Manduk, (Przyp. Red.)

chodniki w dzielnicach mieszkalnych najczęściej nie stykają się z obrzeżem, lecz są oddzielone od niego trawnikiem, którego szerokość zależy od szerokości ulicy.

Chodniki są budowane i utrzymywane kosztem właścicieli przyległych posiadłości; gdzie i jak mają być ułożone, na jakiej szerokości i t. p. kwestje ustala władze miejskie, co wpływa zwykle na jednostajną ich budowę, wygląd, szerokość i ułożenie w jednej poziomej płaszczyźnie. W części mieszkalnej, na ulicach zabudowanych pojedynczymi domkami, jedno lub dwurodzinnymi, szerokość chodników wynosi najczęściej 4 — 6 stóp (1,2 — 1,8 m).

W dzielnicach handlowych, pod chodnikami bardzo często znajdują się piwnice, należące do właścicieli domów. W takich razach chodniki układane są na



Rys. 53. Samochód ciężarowy, zaopatrzony w pług i szczotkę, używany do usuwania śniegu z ulic i dróg pozamiejskich.

odpowiednio mocnej konstrukcji żelaznej, tworzącej rodzaj skrzyni. W chodniku takim znajdują się najczęściej okrągłe otwory, zamykane kłapą, przez które wrzucany jest węgiel do piwnicy, lub też znajdują się drzwi, otwierane na zewnątrz, przez które zapomocą windy przenoszone są towary do wnętrza. Nieraz w części chodnika znajdują się okna, składające się z małych mocnych krążków szklanych, przepuszczających światło do piwnicy. Otwory więc w chodniku zależą od tego, na co przeznaczył właściciel domu swoją piwnicę.

Chodniki w Stanach Zjednoczonych budowane są obecnie wyłącznie z betonu; wykonywane są o warstwie pojedynczej lub też podwójnej.

#### Budowa chodnika o warstwie pojedynczej.

**Drenaż.** Chodniki na gruntach suchych są zwykle układane bez drenażu, gdy jednak drenowanie jest konieczne, wówczas układa się pod linią chodnika jeden rząd sączków betonowych lub kamionkowych o średnicy 4".

**Podłoże.** Gdy podłoże nie posiada drenów i gdy ziemia nie jest dobrze osuszona, wówczas budowane jest podłoże z żużli, żwiru lub z innego materiału porowatego na wysokość 5 cali. Materiał porowaty powinien być dobrze ubity przed ułożeniem warstwy betonowej.

Warstwa betonowa powinna być również 5 cali gruba i posiadać skład 1 : 2 $\frac{1}{2}$  : 4. Piasek do bu-

dowy chodników betonowych powinien przejść przez sito o oczkach  $\frac{1}{4}$ ", a zatrzymać się na sicie o 50 oczkach na jeden cal bieżący. Materiał grubszy może tworzyć tłuczeń lub żwir, który przechodzi przez sito o oczkach 1-calowych, a zatrzymuje się na sicie o oczkach  $\frac{1}{4}$  cala.

**Układanie warstwy górnej.** Beton układany jest na miejscu roboty natychmiast po zmieszaniu. Aby nadać płycie betonowej odpowiednią grubość i szerokość, beton wlewany jest pomiędzy formy (listwy) drewniane lub żelazne, przymocowane kołkami do ziemi. Formy powinny być tak ułożone, aby płyty betonowe posiadały spadek  $\frac{1}{4}$  cala na stopę (1:48) w stronę obrzeża. Gdy chodnik układany jest pomiędzy trawnikami, wówczas winien posiadać koronę i wystawać na jeden cal ponad ziemię zasianą trawą.

Wzniesienie ku środkowi powinno również wynosić  $\frac{1}{4}$  cala na stopę. Po ułożeniu, beton winien być uwalcowany zapomocą walca, ważącego około 1 funta na cal długości walca i następnie wyrównywany zapomocą deski murarskiej, którą przesuwają się po formach, wykonywując przytem jednocześnie ruchy poprzeczne. Gdy beton zaczyna twardnieć, wówczas zapomocą odpowiedniego przyrządu wyciskane są w powierzchni jego dołeczki, które czynią powierzchnię nieco chropowatą i nadają dobry uchwyt dla obuwia.

Chodnik powinien być podzielony na osobne płyty po 6 stóp długości, a co 50 stóp powin-

ny być założone ekspansyjne, spoiny bitumiczne o szerokości  $\frac{1}{2}$  cala. Gdy chodnik wypełnia całkowicie przestrzeń pomiędzy obrzeżem a domem, musi on być od nich również oddzielony zapomocą spoin bitumicznych.

Po ułożeniu, beton powinien być zroszony wodą i posypany warstwą piasku lub ziemi na 2 cale. Warstwa nasypa powinna być utrzymywana w stanie wilgotnym i pokrywać chodnik tak długo, dopóki on zupełnie nie stwardnieje, co wymaga zwykle 7-10 dni. W praktyce jednak bardzo rzadko te środki zapobiegawcze są stosowane, choć brak ich odbija się bardzo niekorzystnie w następstwie na wytrzymałości chodnika. Chodnik więc, po zbudowaniu, jest najczęściej ochraniający i zasłaniany deskami na kilka dni, a następnie oddawany do użytku.

#### Budowa chodnika o warstwie podwójnej.

Na podłożu z żużla, dolną część tego rodzaju chodnika tworzy beton o składzie 1 : 3 : 5, wylany na  $4\frac{1}{2}$  cala grubości. Warstwę górną, czyli powłokę ścierającą się, układa się z zaprawy cementowej o składzie 1 : 2 na grubość około  $\frac{3}{4}$  cala. Tę drugą powłokę układa się w około 45 minut po ułożeniu pierwszej.

Praktyka wykazała, że chodniki o pojedynczej warstwie są tańsze i praktyczniejsze, niż warstwie podwójnej.

# PRZEGLĄD PISM TECHNICZNYCH.

## HYDROTECHNIKA.

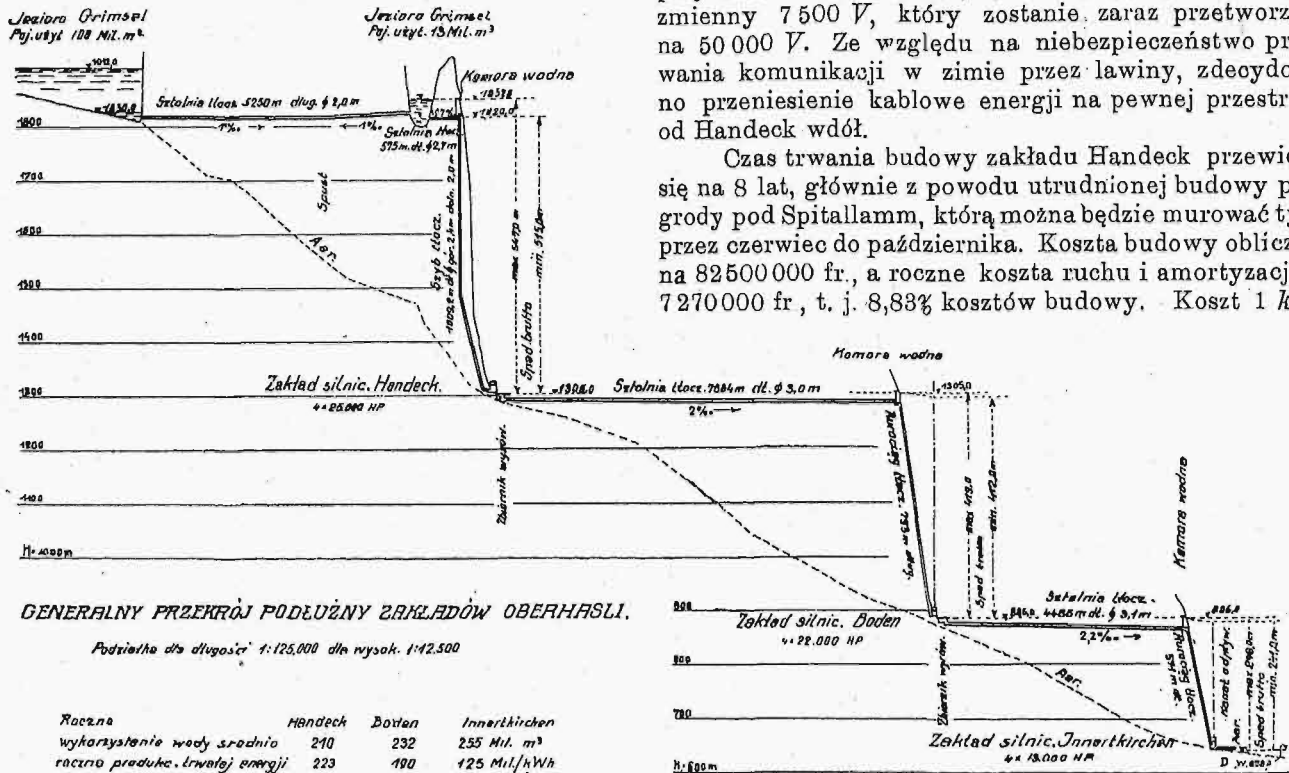
### Projektowane zakłady „Oberhasli“<sup>(1)</sup>.

Tow. akc. Zakładów Berneńskich (Bernische Kraftwerke)<sup>2)</sup> wyprodukowało w 1923 r. 321 milj. kWh, a pomimo to znaczną część zapotrzebowania musiało pokrywać cudzym prądem. Wobec tego postanowiono wybudować dalsze zakłady hydroelektryczne t zw. „Oberhasli“ w górnym biegu rzeki Aaru, obejmujące 3 stopnie, mianowicie zakłady Handeck, Boden i Innertkirchen,

wykonana w łuku o małym promieniu, rozparta ścianami bocznymi, systemu kombinowanego, o nachyleniu ścian od strony wody 1:0,1, od zewnątrz 1:0,5. Kubatura muru z plastycznego betonu wyniesie okragło 340 000 m<sup>3</sup>. Pojemność zbiornika 100 milj. m<sup>3</sup>. Obecne zwierciadło jeziora Grimsel zostanie podniesione z poz. 1875 m do poz. 1912 m, t. j. o 37 m, zapomocą murowanej przegrody, długiej 290 m w koronie, o kubaturze 58 000 m<sup>3</sup>.

Przewiduje się 4 turbiny o osi pionowej, każda o przepływie 4,2 — 4,5 m<sup>3</sup>/s i o mocy po 25 000 KM przy 500 obrotach/min; prądnice mają wytwarzać prąd zmienny 7 500 V, który zostanie zaraz przetworzony na 50 000 V. Ze względu na niebezpieczeństwo przerwania komunikacji w ziemie przez lawiny, zdecydowano przeniesienie kablowe energii na pewnej przestrzeni od Handeck w dół.

Czas trwania budowy zakładu Handeck przewiduje się na 8 lat, głównie z powodu utrudnionej budowy przegrody pod Spitalamm, którą można będzie murować tylko przez czerwiec do października. Koszta budowy obliczono na 82 500 000 fr., a roczne koszta ruchu i amortyzacji na 7 270 000 fr., t. j. 8,83% kosztów budowy. Koszt 1 kWh



Rys. 1.

z których ma być wykonany najpierw pierwszy zakład. Zlewnia cała obejmuje 111,5 km<sup>2</sup> z rocznym odpływem 240 milj. m<sup>3</sup> wody, oprócz ujść pod Handeck i Boden, mających dać jeszcze po 85 milj. m<sup>3</sup> wody.

Zakład Handeck ma otrzymać wodę jezior Grimsel (zw. wody 1912 m n. p. m.) i Gelmer (1852 m n. p. m.), połączonych sztolnią tłoczącą o średnicy 2 m, długą 5250 m, oraz wodę ze zbiornika utworzonego na Aarze pod Spitalamm zapomocą przegrody.

Ilość wody wyniesie przeciętnie rocznie 210 milj. m<sup>3</sup> (6,65 m<sup>3</sup>/s, max. — 12 m<sup>3</sup>/s), a spad brutto max. 547 m, min. 512 m, netto średnio 540 m. Zakład Boden ma otrzymać 232 milj. m<sup>3</sup> wody rocznie ze spadem netto 408 m, wreszcie zakład Innertkirchen 225 milj. m<sup>3</sup> wody ze spadem netto 241 m, ogółem będzie do dyspozycji loco Innertkirchen 538 milj. kWh.

Przegroda pod Spitalamm będzie wzniesiona 100 m nad dno rzeki Aar, fundament na poz. 1800 m n. p. m., a przelew na poz. 1912 m, najgłębsze obniżenie do poz. 1830 m. Długość przegrody wyniesie 248 m. Będzie ona

wypadnie na 0,033 fr. przy zupełnym zużyciu energii. Gdy później zostaną wybudowane 2 dolne zakłady, koszta jeszcze znacznie się obniżą.

Prof. Dr. inż. A. Różański.

## MOSTOWNICTWO.

### Naprawa pękniętego przęsła żeliwnego mostu na Sekwanie<sup>1)</sup>.

Most na Sekwanie, łączący lasok Buloński z gminą Suresnes, zbudowany w roku 1874, składa się z 3-oh przęsła, utworzonych z łuków żeliwnych (po 5 na każdym przęsle). Przęsła boczne mają rozpiętość 44 m, środkowe zaś 52 m. Most był w roku 1898 poszerzony przez dodanie po 2 łuki żeliwne w każdym przęsle.

W lutym 1923 r. zewnętrzny łuk jednego z bocznych przęsła został poważnie uszkodzony skutkiem uderzenia weń 300-t-wej barki. Uderzenie to spowodowało pęknięcie łuku na całej wysokości (w pobliżu filara), oraz

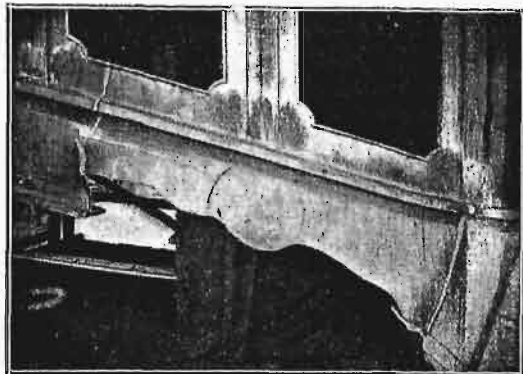
<sup>1)</sup> Annales des Ponts et Chaussées, 1925, zes. 2 techniczna, str. 117 — 122.

<sup>1)</sup> Schweiz. Bauzeitung № 1 i 2 z I półr. 1925.  
<sup>2)</sup> Opis tych zakładów można znaleźć w książce inż. Kazimierza Górskiego „Produkcja i zastosowanie energii elektrycznej w Szwajcarii”. — Nowy-Sącz 1918.



wyłamanie dużego kawałka odlewu (około  $3 \times 0,4$  m powierzchni, rys. 2).

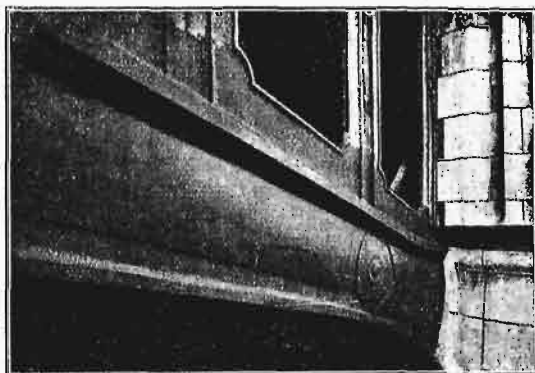
Rozważając możliwości naprawy, projektowano początkowo wykonać ją drogą otoczenia uszkodzonej części łuku betonem. Jednakże rzeczoznawcy słusznie orzekli,



Rys. 2. Widok uszkodzonego łuku żeliwnego. Pęknięty pas dolny i wyłamany spory jego kawałek.

ze otaczanie betonem ustroju żelaznego lub żeliwnego może wzmocnić go tylko wówczas, gdy cały ustrój otrzyma taką powłokę; nadto oczywiście miejscowe obetonowanie łuku zepsułoby zupełnie wygląd tego ładnego mostu.

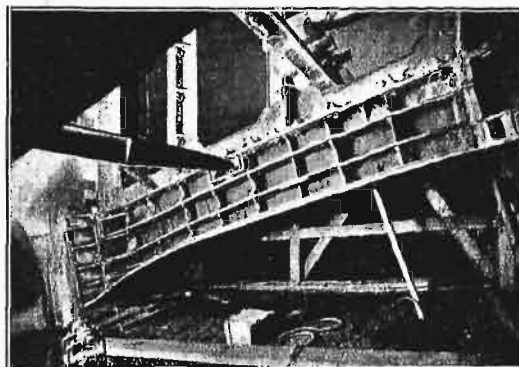
Rzeczoznawca, inż. L. de Boulongne, wystąpił tedy z projektem wykonania spawania pękniętego łuku, oraz połączenia, również drogą spawania, wykonanej na nowo żeliwnej części łuku, wzamian wyłamanej. Spawanie acetylenowe nie mogło być przeprowadzone, gdyż nagrzewanie uszkodzonych miejsc łuku mogłoby być niebezpieczne dla sąsiednich łuków mostu; pozostawało więc tylko spawanie łukowe elektryczne. Projekto-



Rys. 3. Uszkodzony pas łuku po naprawie.

dawca wskazuje, że na podstawie wieloletniego doświadczenia można liczyć na wytrzymałość na rozciąganie naprawionego miejsca żeliwnego łuku około  $500 \text{ kg/cm}^2$ . Naprawę udało się wykonać bardzo pomyslnie, tak iż uszkodzone miejsce jest niemal niewidoczne (rys. 3). Taka tylko naprawa nie byłaby wszakże wystarczająca. Przedewszystkiem bowiem spawanie, jakkolwiek byłoby dobrze wykonane, nie zapewniłoby tak wielkiej wytrzymałości łuku naprawionego, jak nowego; po drugie, należało postarać się o to, by łuk spawany był bardziej sztywny od sąsiednich, nieuszkodzonych, zwłaszcza że most ten stale ulega niebezpieczeństwu uderzeń ciężkich barek wskutek konieczności omijania przez nie przystani ze statkami i t. p. rozlokowanych szeroko obok przyczółka. Wobec tego postanowiono usztywnić to przeszło trzema pasami stalowymi

szerokości  $0,25$  m, zaś grubości  $20$  i  $30$  mm, połączonymi z łukiem również drogą spawania, od wewnętrznej jego strony; pomiędzy temi pasami rozmieszczono pasy poprzeczne — prostopadłe do pierwszych (rys. 4). W ten sposób powiększono wytrzymałość łuku o  $200\%$ .



Rys. 4. Wewnętrzna strona łuku z usztywnieniami.

Przypadkowo zdarzyła się wkrótce sposobność przekonania się o skuteczności naprawy i usztywnienia; ponowne uderzenie barki w to samo miejsce wywołało już nie uszkodzenie mostu lecz rozbicie statku.

Koszta naprawy były stosunkowo niskie, gdyż wyniosły  $50\,000$  franków franc.

## WALCOWNICTWO.

### Nowe ujęcie teoretyczne przebiegu walcowania<sup>1)</sup>.

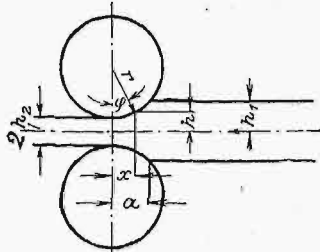
Teoretycy i eksperymetatorzy, pracujący usilnie w ostatnich czasach nad ugruntowaniem podstaw mechaniki ciał plastycznych, mają na widoku przedewszystkiem cele naukowe i na razie mniej troszczą się o zastosowania praktyczne. Ale, jak to powtarza się stale w rozwoju nauki, przychodzi chwila, gdy teoria sprawdzająca początkowo w sposób pewny i przejrzysty zagadnienia prostsze, zaczyna stawać się użyteczną przy rozpatrywaniu zjawisk złożonych, z jakimi ma np. do czynienia inżynier w życiu praktycznym. Jak to wykazała ostatnia konferencja drezdeńska<sup>2)</sup>, poświęcona specjalnie zagadnieniom z teorii plastyczności, ten dział mechaniki zaczyna wchodzić w omawianą fazę rozwoju. Mianowicie obok referatów dotyczących podstaw teorii, zgłoszone zostały tam prace, posiadające bezpośrednie znaczenie w dziedzinie mechanicznej technologii metali. Na uwagę pod tym względem zasługuje praca Th. v. Kármán'a, prof. politechniki akwizgrańskiej, znanego zaszczytnie z badań we wszystkich prawie dziedzinach mechaniki technicznej. Traktuje on w niej przebieg walcowania, wprowadzając pojęcia zapożyczone z teorii plastyczności. Pracę powyższą można uważać za próbę racjonalnego ujęcia ważnego zagadnienia, otwierającą szersze perspektywy dla wszechstronnego rozwiązania w przyszłości.

Kármán traktuje przebieg walcowania jako zjawisko spęczniania (Stauchvorgang). Ogranicza się on do zagadnienia dwuwymiarowego, nie biorąc pod uwagę rozciągania bocznego. Tak więc obliczenie stosuje się w sposób przybliżony dla materiału bardzo szerokiego

<sup>1)</sup> Th. v. Kármán. Beitrag zur Theorie des Walzvorgangs. Z. f. angew. Math. u. Mech., 1925 r. str. 139 — 141.

<sup>2)</sup> Konferencja powyższa, zwołana w marcu r. b. przez niemieckie Tow. Matem. i Mech. Stosowanej, zgromadziła bardzo wielu specjalistów w tej dziedzinie. Można ją uważać za dalszy ciąg wymiany poglądów i wzajemnego zbliżenia specjalistów, zapoczątkowanego na zjeździe Mechaniki Technicznej w Delfcie

lub walców z bocznym ograniczeniem, przy pominięciu tarcia o ściany boczne. Nowością w obliczeniu jest przyjęcie, poza oporem właściwym spęczniania  $q$ , naprężenia ściskającego lub rozciągającego  $p$  w kierunku walcowania.



Rys 5.

Niech  $r$  oznacza promień walców;  $h_1$  i  $h_2$  — połowy grubości materiału przed i po walcowaniu;  $x$  — spórzędna wzdłuż kierunku walcowania;  $\varphi$  — spórzędna kątowna;  $\mu$  — spóczynniki tarcia;  $\omega$  — prędkość kątowna walców. W pierwszym przybliżeniu można zastąpić rzeczywiste naprężenia w przekrojach poprzecznych wartościami śred-

niemi i, pozatem, uważać  $x$  za małe wobec  $r$ . Równanie równowagi dla odcinka ograniczonego spórzędnymi  $x$  i  $x + dx$  wyrazi się w postaci

$$\frac{d}{dx} (ph) = q (\sin \varphi - \mu \cos \varphi).$$

Przyjmując, że  $\cos \varphi \approx 1$ , zaś  $\sin \varphi \approx \frac{x}{r}$  mamy:

$$h = h_2 + r (1 - \cos \varphi) \approx h_2 + \frac{x^2}{2r}; \quad \frac{dh}{dx} \approx \frac{x}{r}$$

skąd znowu

$$h \frac{dp}{dx} + p \frac{x}{r} = q \left( \frac{x}{r} - \mu \right). \quad (1)$$

Ponieważ żelazo lub stal walcujemy na gorąco, przeto możemy materiał walcowany uważać za ciało idealnie plastyczne (Prandtl). Warunek plastyczności przedstawi się w sposób następujący: różnica obu naprężeń głównych  $= k$  = granicy plastyczności danego materiału. W pierwszym przybliżeniu można utożsamić naprężenia główne z naprężeniami  $p$  i  $q$ . Mamy wówczas

$$q - p = k, \quad (2)$$

przyczem  $k$  zależy od temperatury i prędkości odkształcania plastycznego. Uwzględnienie tych czynników oraz ściślejsze sformułowanie warunku (2) uważa Kármán za najbliższy etap udoskonalenia podanej teorii. Na razie przyjmujemy, że  $k = \text{const}$ .

Z równań (1) i (2) otrzymujemy równanie różniczkowe, dające możność znalezienia  $p$  lub  $q$ :

$$h \frac{dp}{dx} + \mu p = k \left( \frac{x}{r} - \mu \right),$$

$$\frac{dp}{dx} + \frac{\mu}{h_2 + x^2/2r} p = \frac{k}{h_2 + x^2/2r} \left( \frac{x}{r} - \mu \right). \quad (3)$$

Równanie powyższe przekształcamy, wprowadzając nowe (bezwymiarowe) zmienne  $\xi = x/a$  i  $\pi = p/k$ , jak również charakterystyczne spóczynniki walcowania

$$\delta = \frac{a^2}{2r h_2} = \frac{\Delta h}{h_2} = \frac{h_1 - h_2}{h_2} = \frac{\text{zmniejsz. wysokości}}{\text{prześwit}}$$

$$\varepsilon = \frac{a}{\mu r} \approx \frac{\psi_{max}}{\mu} \approx \frac{\varphi_{max}}{\arctg \mu} = \frac{\text{rzeczyw. kąt chwytu}}{\text{teoret. kąt chwytu}}$$

Mamy wówczas:

$$\frac{d\pi}{d\xi} + \frac{\mu a/h_2}{1 + \delta \xi^2} \pi = \frac{1}{1 + \delta \xi^2} \left( 2\delta \xi - \frac{\mu a}{h_2} \right).$$

Sprowadza się ono ostatecznie do postaci

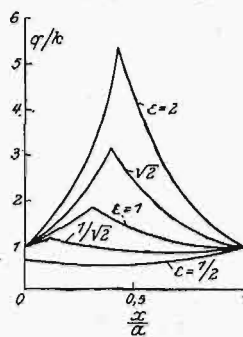
$$\frac{d\pi}{d\xi} + X\pi + X_1 = 0,$$

gdzie  $X$  i  $X_1$  są funkcjami jedynie  $\xi$ . Ogólna całka tego

równania linjowego jest następująca<sup>3)</sup>:

$$\pi = e^{-\int X d\xi} \left[ C - \int X_1 e^{\int X d\xi} d\xi \right].$$

Ze względu na charakter funkcji  $X$  i  $X_1$  daje się ona łatwo obliczyć zapomocą metod elementarnych. Na uwagę zasługuje przytem fakt, że całka ogólna zawiera jedną stałą całkowania  $C$ , pomimo że mamy do czynienia z dwoma warunkami brzegowymi, mianowicie dla przekroju wejściowego  $x = a$  i wyjściowego  $x = 0$ . Ta pozorną sprzeczność wyjaśnia się w sposób następujący. Rozwiązanie równania różniczkowego dotyczy dwóch odcinków, na jakie dzielimy długość chwytu  $a$ . W jednej z dziedzin dla  $x < x_0$  materiał wyprzedza, zaś w drugiej dla  $x > x_0$



Rys. 6.

materiał jest wyprzedzany przez walec. W punkcie  $x = x_0$  materiał przylega stale do walca.

Nadając różne wartości spóczynnikiem charakterystycznym  $\delta$  i  $\varepsilon$ , możemy przedyskutować różne przebiegi walcowania. Rys. 6 przedstawia rozkład naprężeń ściskających  $q$  dla obszaru  $0 \rightarrow \xi \rightarrow 1$ , przyjmując  $\delta = 1$ , czyli dla wypadku, gdy materiał jest przewalcowany do połowy swej pierwotnej grubości. Jeśli  $\mu = 0,25$  mamy

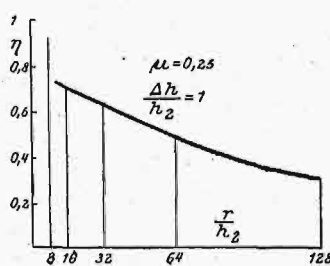
$\varepsilon = 0,5$	$1/2 \sqrt{2}$	1	$\sqrt{2}$	2
$r/h_2 = 128$	64	32	16	8

Specjalnie ciekawy wynik daje obliczenie spóczynnika sprawności walcowania  $\eta$  dla różnych wartości  $r/h_2$ . Jeśli praca odkształcania, inaczej moc użyteczna walcowania wynosi<sup>4)</sup>  $L_n = k V \log h_1/h_2$ , gdzie  $V$  jest objętością przewalcowanego materiału, zaś moc napędowa walców wynosi (dla szerokości  $= 1$ )

$$L_n = \int_0^{\varphi_{max}} \mu q r \omega d\varphi = \omega \int_0^a \mu q dx,$$

to posiłkując się równaniem (3) otrzymamy sprawność

$$\eta = \frac{\log(1 + \delta)}{\delta} \frac{h_0}{h_2} \frac{1}{1 + 2 \int_0^1 \pi \xi d\xi}$$



Rys 7.

w postaci iloczynu trzech czynników. Przez  $h_0$  oznaczamy przytem połowę wysokości materiału w punkcie  $x_0$ , gdzie materiał przylega do walca.

Czynnik pierwszy jest funkcją  $\delta$ ; czynnik drugi  $h_0/h_2 = v_2/r\omega$ , gdzie  $v_2$  jest prędkością wyjściową materiału. Czynniki trzeci zależy wyłącznie od rozkładu naprężeń.

Rys. 7 przedstawia wpływ średnicy walców na sprawność. Wykazuje on zalety stosowania możliwie cienkich walców, co znane jest doskonale praktykom walcownikom.

Prof. H. Mierzejewski.

<sup>3)</sup> E. Goursat. Cours d'analyse mathématique, Tom II, str. 304.

<sup>4)</sup> Uzasadnienie tego wzoru znajdzie czytelnik we wszechstronnej i źródłowej pracy: Dr. Ing. G. Liss. „Die Nutzarbeit des Walzvorgangs. Grundlagen einer Mechanik bildsamer Körper“. Stahl u. Eisen, str. 689 i nast.